



LABORATOIRE
JEAN KUNTZMANN
MATHÉMATIQUES APPLIQUÉES - INFORMATIQUE



Communauté
UNIVERSITÉ Grenoble Alpes

Textures orientées et lignes dans les images

Analyse, synthèse et super-résolution

12 décembre 2017

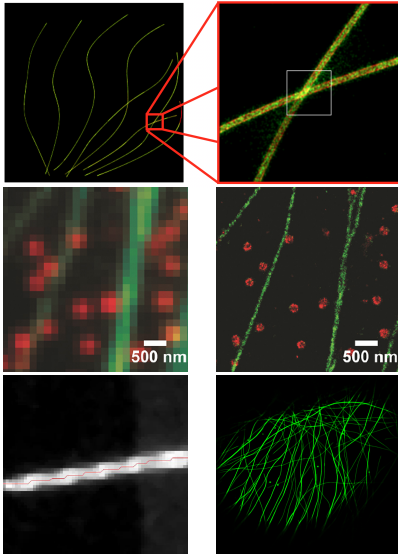
Kévin Polisano

Membres du jury

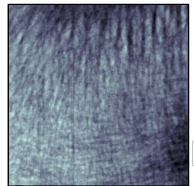
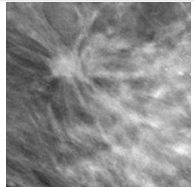
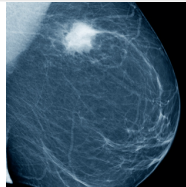
Anne Estrade	(Univ. Paris Descartes)	Valérie Perrier	(Directrice de thèse)
Annick Montanvert	(Univ. Grenoble Alpes)	Marianne Clausel	(Co-encadrante)
Gabriel Peyré	(ENS Paris)	Laurent Condat	(Co-encadrant)
Frédéric Richard	(Univ. Aix Marseille)		
Pierre Weiss	(Univ. Toulouse)		



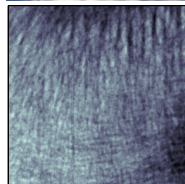
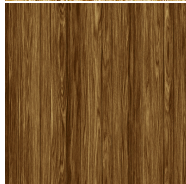
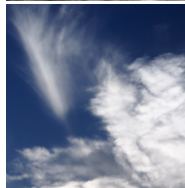
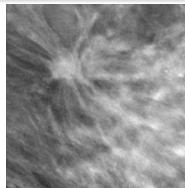
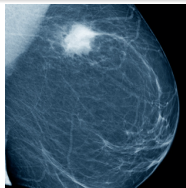
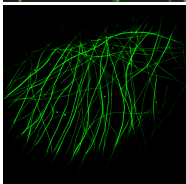
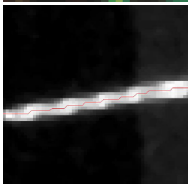
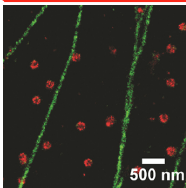
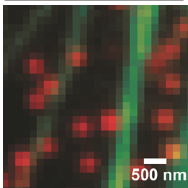
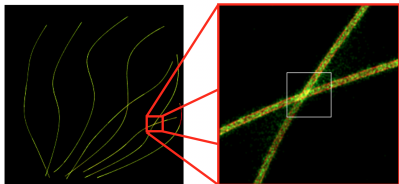
Motivations



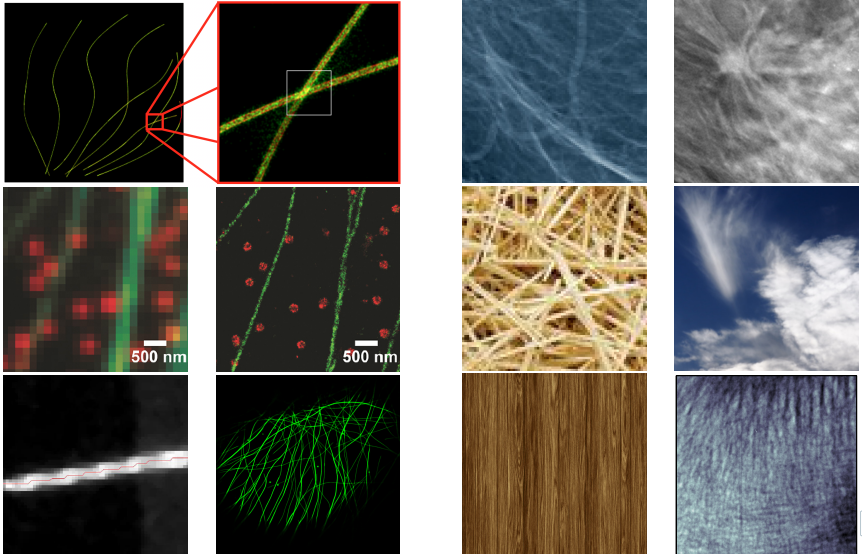
Motivations



Motivations



Motivations

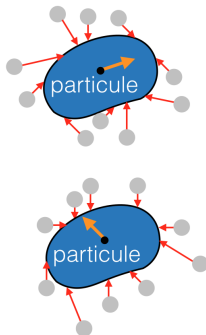
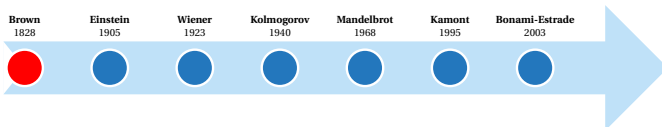


Plan de l'exposé

- 1 Motivations
- 2 Modélisation et synthèse de textures orientées contrôlables
 - Du mouvement brownien aux champs aléatoires anisotropes
 - Premier modèle (GAFBF) : champs H-sssi localisés
 - Second modèle (WAFBF) : champs H-sssi déformés
- 3 Analyse de l'orientation des champs aléatoires anisotropes
 - Définition de l'orientation d'un champ H-sssi par ondelettes monogènes
 - Orientation d'un champ localisable et application aux GAFBF et WAFBF
- 4 Super-résolution de lignes 2-D diffractées et bruitées
 - Principe de super-résolution
 - Modélisation des lignes diffractées et formulation d'un problème inverse
 - Résolution du problème d'optimisation et estimation des paramètres des lignes
- 5 Conclusion et perspectives

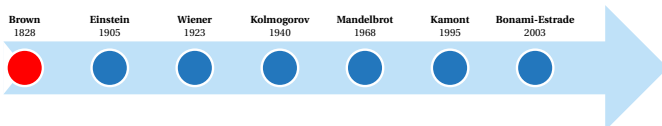


Du brownien aux champs aléatoires anisotropes

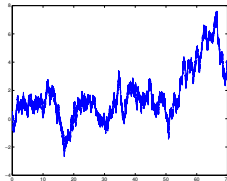


- déplacements indépendants
- distribution gaussienne
- trajectoire irrégulière

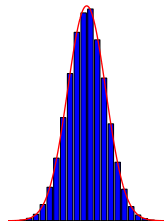
Du brownien aux champs aléatoires anisotropes



Déplacements indépendants

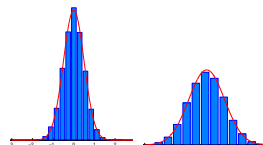
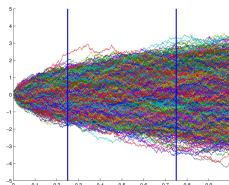
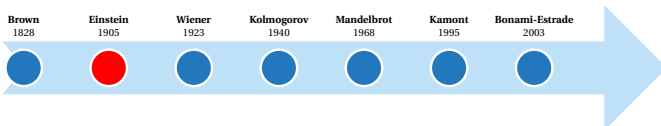


Trajectoire irrégulière



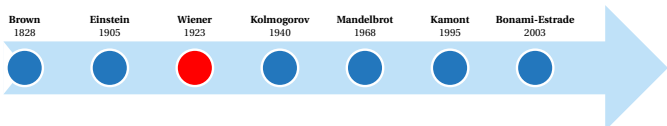
Distribution gaussienne

Du brownien aux champs aléatoires anisotropes



$$\overline{(\Delta x)^2} \propto t$$

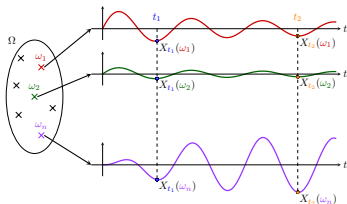
Du brownien aux champs aléatoires anisotropes



Mouvement brownien

- $(B_t)_t$ est à accroissements indépendants, $B_0 = 0$ p.s.
- $B_{t_i} - B_{t_j} \sim \mathcal{N}(0, t_i - t_j)$
- $(B_t)_t$ est à trajectoires p.s. continues.

$$X : T \times \Omega \longrightarrow E$$
$$(t, \omega) \longmapsto X(t, \omega)$$



Du brownien aux champs aléatoires anisotropes

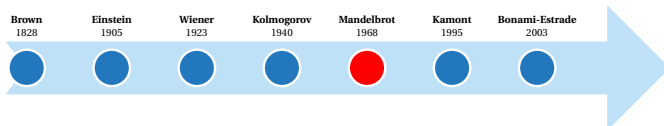


Isométrie $\mathbf{W} : (L^2, \langle f, g \rangle_{L^2}) \rightarrow (\mathcal{G}, \mathbb{E}[XY])$

- $\mathbb{E}[\mathbf{W}(f)\mathbf{W}(g)] = \langle f, g \rangle_{L^2}, \quad \mathbf{W}(f) \sim \mathcal{N}(0, \|f\|_{L^2}^2)$
- $\forall t \in [0, 1], \quad B_t \stackrel{\text{def}}{=} \mathbf{W}(\mathbb{1}_{[0,t]})$
 - $\mathbb{E}[(B_t - B_s)^2] = \|\mathbb{1}_{[0,t]} - \mathbb{1}_{[0,s]}\|_{L^2}^2 = \int \mathbb{1}_{[s,t]} = t - s$
 - $\mathbb{E}[(B_{t_i} - B_{t_{i-1}})(B_{t_j} - B_{t_{j-1}})] = \langle \mathbb{1}_{[t_{i-1}, t_i]}, \mathbb{1}_{[t_{j-1}, t_j]} \rangle_{L^2} = 0$

intégrale de Wiener = $\int f(x)\mathbf{W}(dx)$

Du brownien aux champs aléatoires anisotropes



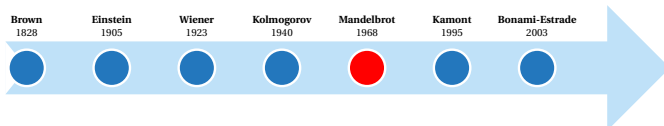
Autosimilarité

$\{X(t)\}_{t \in T}$ est dit **autosimilaire**
de paramètre H si $\forall \lambda \in \mathbb{R}$

$$\{X(\lambda t)\}_{t \in T} \stackrel{(fdd)}{=} \lambda^H \{X(t)\}_{t \in T}$$



Du brownien aux champs aléatoires anisotropes



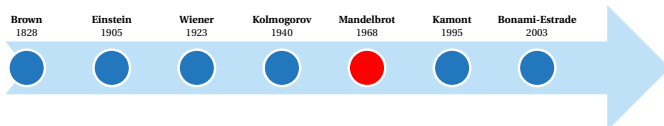
Autosimilarité

$\{X(t)\}_{t \in T}$ est dit **autosimilaire**
de paramètre H si $\forall \lambda \in \mathbb{R}$

$$\{X(\lambda t)\}_{t \in T} \stackrel{(fdd)}{=} \lambda^H \{X(t)\}_{t \in T}$$



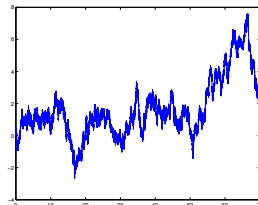
Du brownien aux champs aléatoires anisotropes



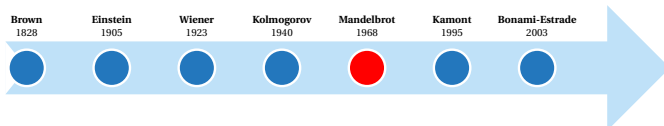
Autosimilarité

$\{X(t)\}_{t \in T}$ est dit **autosimilaire**
de paramètre H si $\forall \lambda \in \mathbb{R}$

$$\{X(\lambda t)\}_{t \in T} \stackrel{(fdd)}{=} \lambda^H \{X(t)\}_{t \in T}$$

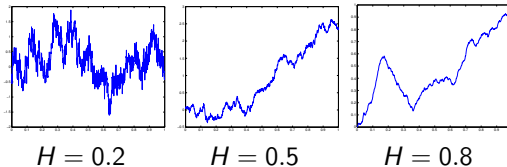


Du brownien aux champs aléatoires anisotropes

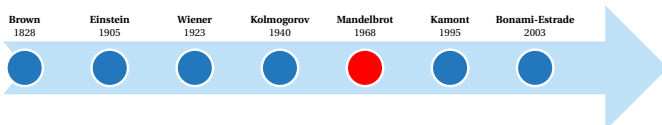


• $\mathbb{E} [(B^H(t) - B^H(s))^2] = |t - s|^{2H} \Rightarrow$ ~~accr. indépendants~~

Mouvement brownien fractionnaire B^H

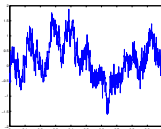


Du brownien aux champs aléatoires anisotropes

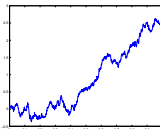


• $\mathbb{E} [(B^H(t) - B^H(s))^2] = |t - s|^{2H} \Rightarrow$ **accr. stationnaires**

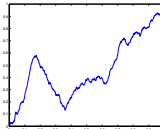
Mouvement brownien fractionnaire B^H (FBM)



$H = 0.2$

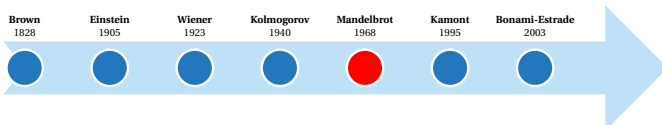


$H = 0.5$



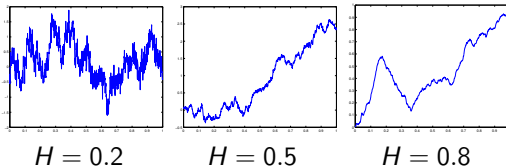
$H = 0.8$

Du brownien aux champs aléatoires anisotropes

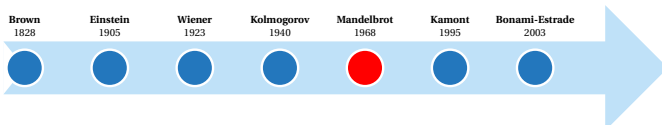


- $\mathbb{E} [(B^H(t) - B^H(s))^2] = |t - s|^{2H} \Rightarrow$ **accr. stationnaires**
- $\mathbf{R}(t, s) = \text{Cov}(B^H(t), B^H(s)) = \frac{1}{2}(t^{2H} + s^{2H} - |t - s|^{2H})$

Mouvement brownien fractionnaire B^H (FBM)

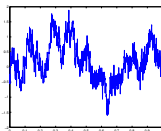


Du brownien aux champs aléatoires anisotropes

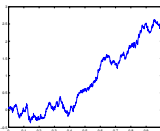


- $\mathbb{E} [(B^H(t) - B^H(s))^2] = |t - s|^{2H} \Rightarrow$ **accr. stationnaires**
- $\mathbf{R}(t, s) = \text{Cov}(B^H(t), B^H(s)) = \frac{1}{2}(t^{2H} + s^{2H} - |t - s|^{2H})$
- $B^H(t) = \frac{1}{c_H} \int_{\mathbb{R}} \frac{e^{jt\xi} - 1}{|\xi|^{H+1/2}} \widehat{\mathbf{W}}(\xi) \Rightarrow$ **représentation spectrale**

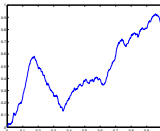
Mouvement brownien fractionnaire B^H (FBM)



$H = 0.2$

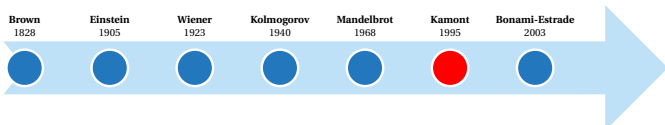


$H = 0.5$



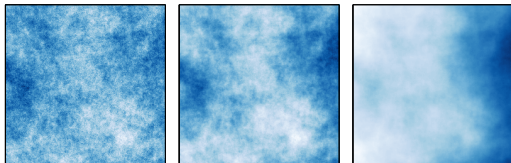
$H = 0.8$

Du brownien aux champs aléatoires anisotropes



- $\mathbb{E} [(B^H(\mathbf{x}) - B^H(\mathbf{y}))^2] = \|\mathbf{x} - \mathbf{y}\|^{2H}, \mathbf{x}, \mathbf{y} \in \mathbb{R}^2$
- $\mathbf{R}(\mathbf{x}, \mathbf{y}) = \frac{1}{2} (\|\mathbf{x}\|^{2H} + \|\mathbf{y}\|^{2H} - \|\mathbf{x} - \mathbf{y}\|^{2H})$
- $B^H(\mathbf{x}) = \frac{1}{C_H} \int_{\mathbb{R}^2} \frac{e^{j\langle \mathbf{x}, \boldsymbol{\xi} \rangle} - 1}{\|\boldsymbol{\xi}\|^{H+1}} \widehat{\mathbf{W}}(d\boldsymbol{\xi})$

Champ brownien fractionnaire B^H (FBF)

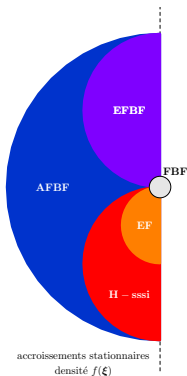
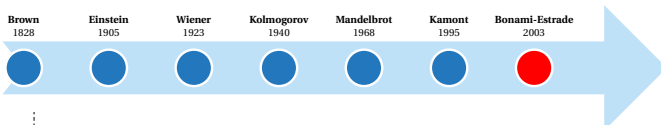


$H = 0.2$

$H = 0.5$

$H = 0.8$

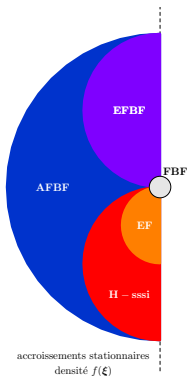
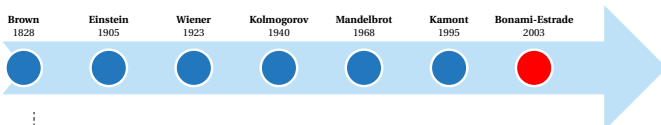
Modèle de Bonami-Estrade



$$X(\mathbf{x}) = \int_{\mathbb{R}^2} (e^{j\langle \mathbf{x}, \boldsymbol{\xi} \rangle} - 1) f^{1/2}(\boldsymbol{\xi}) \widehat{\mathbf{W}}(d\boldsymbol{\xi})$$

- $f^{1/2}(\boldsymbol{\xi}) = \frac{C}{\|\boldsymbol{\xi}\|^{H+1}}$ (FBF)
- $f^{1/2}(\boldsymbol{\xi}) = \frac{C}{\|\boldsymbol{\xi}\|^{H+1}}$ (FBF)
- $f^{1/2}(\boldsymbol{\xi}) = \frac{C}{\|\boldsymbol{\xi}\|^{H+1}}$ (FBF)

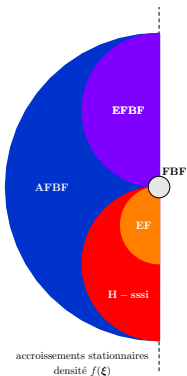
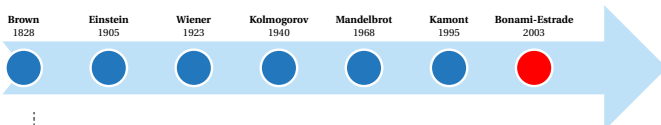
Modèle de Bonami-Estrade



$$X(\mathbf{x}) = \int_{\mathbb{R}^2} (e^{j\langle \mathbf{x}, \boldsymbol{\xi} \rangle} - 1) f^{1/2}(\boldsymbol{\xi}) \widehat{\mathbf{W}}(d\boldsymbol{\xi})$$

- $f^{1/2}(\boldsymbol{\xi}) = \frac{C}{\|\boldsymbol{\xi}\|^{h(\boldsymbol{\xi})+1}}$ (EFBF)
- $f^{1/2}(\boldsymbol{\xi}) = \frac{C}{\|\boldsymbol{\xi}\|^{H+1}}$ (FBF)
- $f^{1/2}(\boldsymbol{\xi}) = \frac{C}{\|\boldsymbol{\xi}\|^{H+1}}$ (FBF)

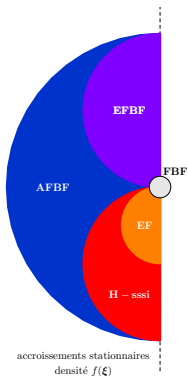
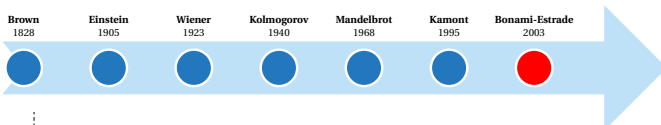
Modèle de Bonami-Estrade



$$X(\mathbf{x}) = \int_{\mathbb{R}^2} (e^{j\langle \mathbf{x}, \boldsymbol{\xi} \rangle} - 1) f^{1/2}(\boldsymbol{\xi}) \widehat{\mathbf{W}}(d\boldsymbol{\xi})$$

- $f^{1/2}(\boldsymbol{\xi}) = \frac{C}{\|\boldsymbol{\xi}\|^{h(\boldsymbol{\xi})+1}}$ (EFBF)
- $f^{1/2}(\boldsymbol{\xi}) = \frac{C(\boldsymbol{\xi})}{\|\boldsymbol{\xi}\|^{H+1}}$ (H-sssi) (Benassi et coll., 1997)
- $f^{1/2}(\boldsymbol{\xi}) = \frac{C}{\|\boldsymbol{\xi}\|^{H+1}}$ (FBF)

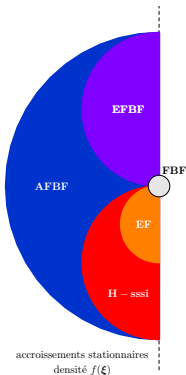
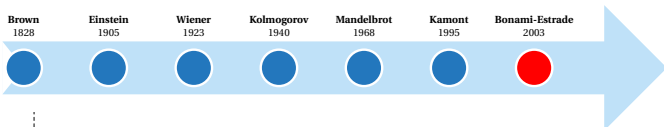
Modèle de Bonami-Estrade



$$X(x) = \int_{\mathbb{R}^2} (e^{j\langle x, \xi \rangle} - 1) f^{1/2}(\xi) \widehat{W}(d\xi)$$

- $f^{1/2}(\xi) = \frac{C}{\|\xi\|^{h(\xi)+1}}$ (EFBF)
- $f^{1/2}(\xi) = \frac{C(\xi)}{\|\xi\|^{H+1}}$ (H-sssi) (Benassi et coll., 1997)
- $f^{1/2}(\xi) = \frac{C(\xi)}{\|\xi\|^{h(\xi)+1}}$ (AFBF)

Modèle de Bonami-Estrade



$$X(\mathbf{x}) = \int_{\mathbb{R}^2} (e^{j\langle \mathbf{x}, \boldsymbol{\xi} \rangle} - 1) f^{1/2}(\boldsymbol{\xi}) \widehat{\mathbf{W}}(d\boldsymbol{\xi})$$

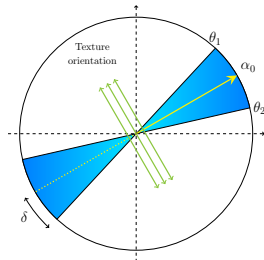
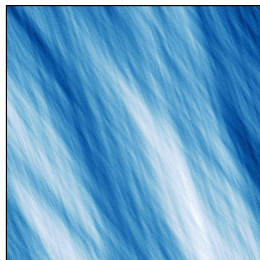
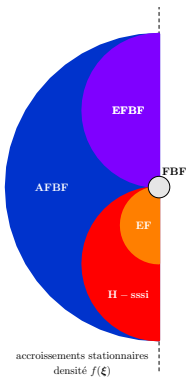
- $f^{1/2}(\boldsymbol{\xi}) = \frac{C}{\|\boldsymbol{\xi}\|^{h(\boldsymbol{\xi})+1}}$ (EFBF)
- $f^{1/2}(\boldsymbol{\xi}) = \frac{C(\boldsymbol{\xi})}{\|\boldsymbol{\xi}\|^{H+1}}$ (H-sssi) (Benassi et coll., 1997)
 - ▶ $C(\boldsymbol{\xi}) = \mathbb{1}_{[-\delta, \delta]}(\arg \boldsymbol{\xi} - \alpha_0)$ (EF)



Modèle de Bonami-Estrade

$$X(\mathbf{x}) = \int_{\mathbb{R}^2} (e^{j\langle \mathbf{x}, \boldsymbol{\xi} \rangle} - 1) \frac{\mathbb{1}_{[-\delta, \delta]}(\arg \boldsymbol{\xi} - \alpha_0)}{\|\boldsymbol{\xi}\|^{H+1}} \widehat{\mathbf{W}}(d\boldsymbol{\xi})$$

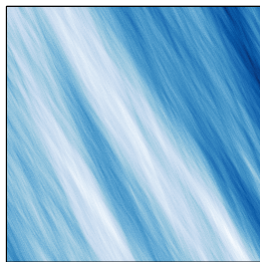
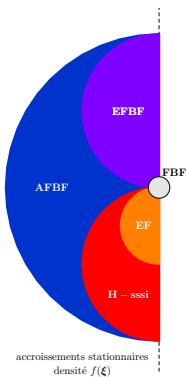
Champ élémentaire (EF) [$H = 0.5$, $\alpha_0 = \pi/6$]



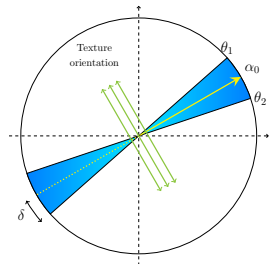
Modèle de Bonami-Estrade

$$X(\mathbf{x}) = \int_{\mathbb{R}^2} (e^{j\langle \mathbf{x}, \boldsymbol{\xi} \rangle} - 1) \frac{\mathbb{1}_{[-\delta, \delta]}(\arg \boldsymbol{\xi} - \alpha_0)}{\|\boldsymbol{\xi}\|^{H+1}} \widehat{\mathbf{W}}(d\boldsymbol{\xi})$$

Champ élémentaire (EF) [$H = 0.5$, $\alpha_0 = \pi/6$]



$\delta = 3.10^{-1}$

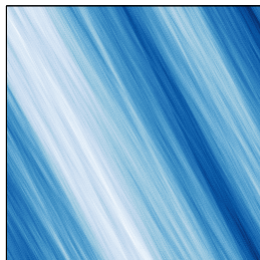
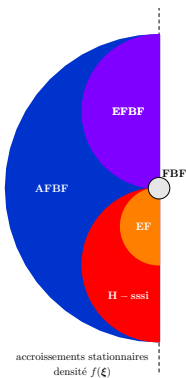


$\delta = 3.10^{-1}$

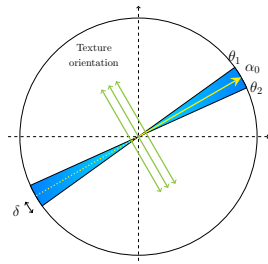
Modèle de Bonami-Estrade

$$X(\mathbf{x}) = \int_{\mathbb{R}^2} (e^{j\langle \mathbf{x}, \boldsymbol{\xi} \rangle} - 1) \frac{\mathbb{1}_{[-\delta, \delta]}(\arg \boldsymbol{\xi} - \alpha_0)}{\|\boldsymbol{\xi}\|^{H+1}} \widehat{\mathbf{W}}(d\boldsymbol{\xi})$$

Champ élémentaire (EF) [$H = 0.5$, $\alpha_0 = \pi/6$]



$\delta = 3.10^{-1}$



$\delta = 3.10^{-1}$

État de l'art des champs anisotropes

- Drap brownien fractionnaire (FBS) (Kamont, 1995), (Léger et Pontier, 1999), (Ayache et coll., 2002)
- Champs H-sssi (Benassi et coll., 1997)
- Modèle de Bonami et Estrade (Bonami et Estrade, 2003)
- Champs gaussiens à autosimilarité matricielle (OSGRF) (Schertzer et Lovejoy, 1985), (Biermé et coll., 2007)
- Modèles de Xue, Xiao, Li (Xue et Xiao, 2011), (Li et Xiao, 2011)
- ...



État de l'art des champs anisotropes

- Drap brownien fractionnaire (FBS) (Kamont, 1995), (Léger et Pontier, 1999), (Ayache et coll., 2002)
- Champs H-sssi (Benassi et coll., 1997)
- Modèle de Bonami et Estrade (Bonami et Estrade, 2003)
- Champs gaussiens à autosimilarité matricielle (OSGRF) (Schertzer et Lovejoy, 1985), (Biermé et coll., 2007)
- Modèles de Xue, Xiao, Li (Xue et Xiao, 2011), (Li et Xiao, 2011)
- ...

⇒ aucune classe de champs à anisotropie locale contrôlée



État de l'art des champs anisotropes

- Drap brownien fractionnaire (FBS) (Kamont, 1995), (Léger et Pontier, 1999), (Ayache et coll., 2002)
- Champs H-sssi (Benassi et coll., 1997)
- Modèle de Bonami et Estrade (Bonami et Estrade, 2003)
- Champs gaussiens à autosimilarité matricielle (OSGRF) (Schertzer et Lovejoy, 1985), (Biermé et coll., 2007)
- Modèles de Xue, Xiao, Li (Xue et Xiao, 2011), (Li et Xiao, 2011)
- ...

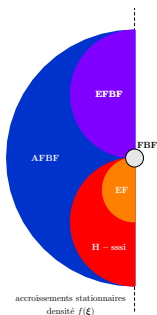
⇒ aucune classe de champs à anisotropie locale contrôlée

⇒ contribution : deux nouvelles classes de ce type
le (GAFBF) et le (WAFBF)

Des champs H-sssi aux GAFBF

- Modèle de Bonami-Estrade :

$$X(\mathbf{x}) = \int_{\mathbb{R}^2} (e^{j\langle \mathbf{x}, \boldsymbol{\xi} \rangle} - 1) f^{1/2}(\boldsymbol{\xi}) \widehat{\mathbf{W}}(d\boldsymbol{\xi})$$



H-sssi

$$f^{1/2}(\boldsymbol{\xi}) = \frac{C(\boldsymbol{\xi})}{\|\boldsymbol{\xi}\|^{H+1}}$$

EF

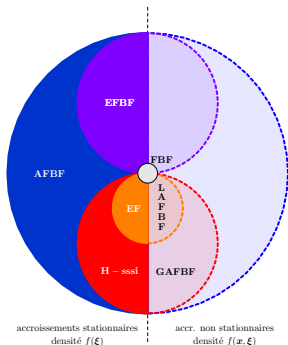
$$C(\boldsymbol{\xi}) = \mathbb{1}_{[-\delta, \delta]}(\arg \boldsymbol{\xi} - \alpha_0)$$



Modèle à orientation et régularité locales prescrites

- Notre modèle :

$$X(\mathbf{x}) = \int_{\mathbb{R}^2} (e^{j\langle \mathbf{x}, \boldsymbol{\xi} \rangle} - 1) f^{1/2}(\mathbf{x}, \boldsymbol{\xi}) \widehat{\mathbf{W}}(d\boldsymbol{\xi})$$



GAFBF

$$f^{1/2}(\mathbf{x}, \boldsymbol{\xi}) = \frac{C(\mathbf{x}, \boldsymbol{\xi})}{\|\boldsymbol{\xi}\|^{h(\mathbf{x})+1}}$$

LAFBF

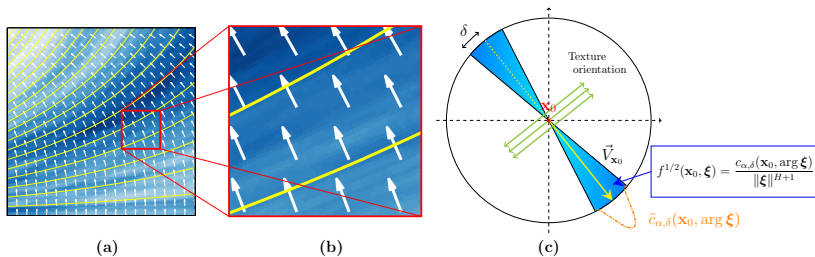
$$C(\mathbf{x}, \boldsymbol{\xi}) = \mathbb{1}_{[-\delta(\mathbf{x}), \delta(\mathbf{x})]}(\arg \boldsymbol{\xi} - \alpha(\mathbf{x}))$$



Modèle à orientation locale prescrite

$$B_{\alpha,\delta}^H(\mathbf{x}) = \int_{\mathbb{R}^2} (e^{j\langle \mathbf{x}, \boldsymbol{\xi} \rangle} - 1) \frac{\mathbb{1}_{[-\delta,\delta]}(\arg \boldsymbol{\xi} - \alpha(\mathbf{x}))}{\|\boldsymbol{\xi}\|^{H+1}} \widehat{\mathbf{W}}(d\boldsymbol{\xi})$$

Champ élémentaire localisé (LAFBF) [$H = 0.8$, $\alpha(x_1, x_2) = -\pi/2 + x_1$]



Le champ tangent : outil d'analyse et de synthèse

- 1 Outil d'**analyse** (Lévy-Vehel, 1995), (Falconer, 2002) :

$$\left\{ \lim_{\rho \rightarrow 0} \frac{X(\mathbf{x}_0 + \rho \mathbf{x}) - X(\mathbf{x}_0)}{\rho^{h(\mathbf{x}_0)}} \right\}_{\mathbf{x} \in \mathbb{R}^2} \stackrel{d}{=} \{Y_{\mathbf{x}_0}(\mathbf{x})\}_{\mathbf{x} \in \mathbb{R}^2}$$

- 2 Outil de **synthèse** (Lévy-Véhel, 1995), (Benassi, 1997) :

$$X(\mathbf{x}_0) \leftarrow Y_{\mathbf{x}_0}(\mathbf{x} = \mathbf{x}_0)$$

Champ brownien multifractionnaire B^h (MBF) (Peltier, Vehel, 1995)

- **Analyse** : le MBF **se comporte localement** comme un FBF

$$\left\{ \lim_{\rho \rightarrow 0} \frac{B^h(\mathbf{x}_0 + \rho \mathbf{x}) - B^h(\mathbf{x}_0)}{\rho^{h(\mathbf{x}_0)}} \right\}_{\mathbf{x} \in \mathbb{R}^2} \stackrel{d}{=} \{B^{h(\mathbf{x}_0)}(\mathbf{x})\}_{\mathbf{x} \in \mathbb{R}^2}$$

- **Synthèse** : $B^h(\mathbf{x}_0) \leftarrow B^{h(\mathbf{x}_0)}(\mathbf{x} = \mathbf{x}_0)$



Le champ tangent : outil d'analyse et de synthèse

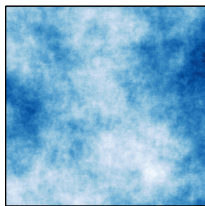
- ① Outil d'**analyse** (Lévy-Vehel, 1995), (Falconer, 2002) :

$$\left\{ \lim_{\rho \rightarrow 0} \frac{X(\mathbf{x}_0 + \rho \mathbf{x}) - X(\mathbf{x}_0)}{\rho^{h(\mathbf{x}_0)}} \right\}_{\mathbf{x} \in \mathbb{R}^2} \stackrel{d}{=} \{Y_{\mathbf{x}_0}(\mathbf{x})\}_{\mathbf{x} \in \mathbb{R}^2}$$

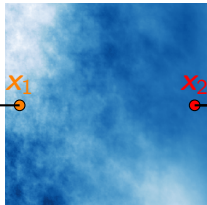
- ② Outil de **synthèse** (Lévy-Véhel, 1995), (Benassi, 1997) :

$$X(\mathbf{x}_0) \leftarrow Y_{\mathbf{x}_0}(\mathbf{x} = \mathbf{x}_0)$$

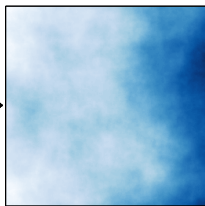
FBF B^H , $H \equiv h(\mathbf{x}_1)$



MBF $B^h(\mathbf{x})$



FBF B^H , $H \equiv h(\mathbf{x}_2)$



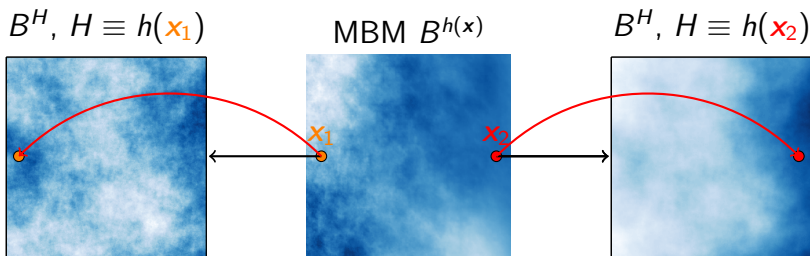
Le champ tangent : outil d'analyse et de synthèse

- 1 Outil d'**analyse** (Lévy-Vehel, 1995), (Falconer, 2002) :

$$\left\{ \lim_{\rho \rightarrow 0} \frac{X(\mathbf{x}_0 + \rho \mathbf{x}) - X(\mathbf{x}_0)}{\rho^{h(\mathbf{x}_0)}} \right\}_{\mathbf{x} \in \mathbb{R}^2} \stackrel{d}{=} \{Y_{\mathbf{x}_0}(\mathbf{x})\}_{\mathbf{x} \in \mathbb{R}^2}$$

- 2 Outil de **synthèse** (Lévy-Véhel, 1995), (Benassi, 1997) :

$$X(\mathbf{x}_0) \leftarrow Y_{\mathbf{x}_0}(\mathbf{x} = \mathbf{x}_0)$$



Hypothèses du GAFBF

Hypothèses (\mathcal{H})

- h est β -höldérienne, telle que $a = \inf_{\mathbf{x} \in \mathbb{R}^2} h(\mathbf{x}) > 0$,
 $b = \sup_{\mathbf{x} \in \mathbb{R}^2} h(\mathbf{x})$ et $b < \beta \leq 1$.

- $(\mathbf{x}, \boldsymbol{\xi}) \mapsto C(\mathbf{x}, \boldsymbol{\xi})$ est bornée $C(\mathbf{x}, \boldsymbol{\xi}) \leq M, \forall (\mathbf{x}, \boldsymbol{\xi})$.

- $\boldsymbol{\xi} \mapsto C(\mathbf{x}, \boldsymbol{\xi})$ est paire $C(\mathbf{x}, -\boldsymbol{\xi}) = C(\mathbf{x}, \boldsymbol{\xi})$.

- $\boldsymbol{\xi} \mapsto C(\mathbf{x}, \boldsymbol{\xi})$ homogène $C(\mathbf{x}, \rho \boldsymbol{\xi}) = C(\mathbf{x}, \boldsymbol{\xi}), \forall \rho$.

- $\mathbf{x} \mapsto C(\mathbf{x}, \boldsymbol{\xi})$ est continue et $\exists \eta, \beta \leq \eta \leq 1$, t.q $\forall \mathbf{x}$

$$\sup_{\mathbf{z} \in B(\mathbf{0}, 1)} \|\mathbf{z}\|^{-2\eta} \int_{\mathbb{S}^1} [C(\mathbf{x} + \mathbf{z}, \boldsymbol{\Theta}) - C(\mathbf{x}, \boldsymbol{\Theta})]^2 d\boldsymbol{\Theta} \leq A_{\mathbf{x}} < \infty$$



Champ tangent du GAFBF

Soit X le GAFBF défini par

$$X(\mathbf{x}) = \int_{\mathbb{R}^2} (e^{j\langle \mathbf{x}, \boldsymbol{\xi} \rangle} - 1) \frac{C(\mathbf{x}, \boldsymbol{\xi})}{\|\boldsymbol{\xi}\|^{h(\mathbf{x})+1}} \widehat{\mathbf{W}}(d\boldsymbol{\xi})$$

Théorème (Polisano et coll., 2017)

Si X vérifie les hypothèses (\mathcal{H}) , alors X admet en tout point $\mathbf{x}_0 \in \mathbb{R}^2$ un **champ tangent** $Y_{\mathbf{x}_0}$ donné par la représentation :

$$\begin{aligned} Y_{\mathbf{x}_0}(\mathbf{x}) &= \int_{\mathbb{R}^2} (e^{j\langle \mathbf{x}, \boldsymbol{\xi} \rangle} - 1) f^{1/2}(\mathbf{x}_0, \boldsymbol{\xi}) \widehat{\mathbf{W}}(d\boldsymbol{\xi}), \\ &= \int_{\mathbb{R}^2} (e^{j\langle \mathbf{x}, \boldsymbol{\xi} \rangle} - 1) \frac{C(\mathbf{x}_0, \boldsymbol{\xi})}{\|\boldsymbol{\xi}\|^{h(\mathbf{x}_0)+1}} \widehat{\mathbf{W}}(d\boldsymbol{\xi}). \end{aligned}$$



Champ tangent du GAFBF

Soit X le GAFBF défini par

$$X(\mathbf{x}) = \int_{\mathbb{R}^2} (e^{j\langle \mathbf{x}, \boldsymbol{\xi} \rangle} - 1) \frac{C(\mathbf{x}, \boldsymbol{\xi})}{\|\boldsymbol{\xi}\|^{h(\mathbf{x})+1}} \widehat{\mathbf{W}}(d\boldsymbol{\xi})$$

Théorème (Polisano et coll., 2017)

Si X vérifie les hypothèses (\mathcal{H}) , alors X admet en tout point $\mathbf{x}_0 \in \mathbb{R}^2$ un **champ tangent** $Y_{\mathbf{x}_0}$ donné par la représentation :

$$Y_{\mathbf{x}_0}(\mathbf{x}) = \int_{\mathbb{R}^2} (e^{j\langle \mathbf{x}, \boldsymbol{\xi} \rangle} - 1) f^{1/2}(\mathbf{x}_0, \boldsymbol{\xi}) \widehat{\mathbf{W}}(d\boldsymbol{\xi}),$$

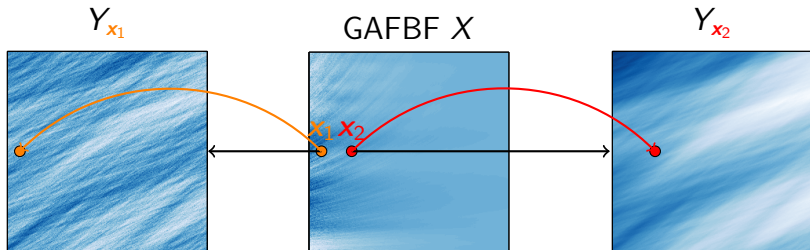
champ H-sssi = $\int_{\mathbb{R}^2} (e^{j\langle \mathbf{x}, \boldsymbol{\xi} \rangle} - 1) \frac{C_{\mathbf{x}_0}(\boldsymbol{\xi})}{\|\boldsymbol{\xi}\|^{h(\mathbf{x}_0)+1}} \widehat{\mathbf{W}}(d\boldsymbol{\xi}).$



Synthèse du GAFBF par champ tangent

$$X(\mathbf{x}_0) \leftarrow Y_{\mathbf{x}_0}(\mathbf{x} = \mathbf{x}_0) = \int_{\mathbb{R}^2} (e^{j\langle \mathbf{x}, \boldsymbol{\xi} \rangle} - 1) \frac{C_{\mathbf{x}_0}(\boldsymbol{\xi})}{\|\boldsymbol{\xi}\|^{h(\mathbf{x}_0)+1}} \widehat{\mathbf{W}}(d\boldsymbol{\xi})$$

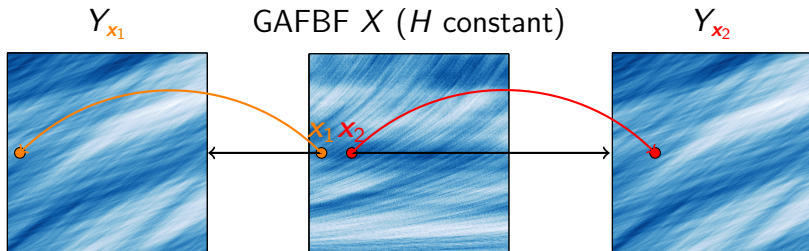
⇒ Nécessite de simuler autant de champs tangents qu'il y a de pixels dans l'image !



Synthèse du GAFBF inspirée de (Wood, 1994)

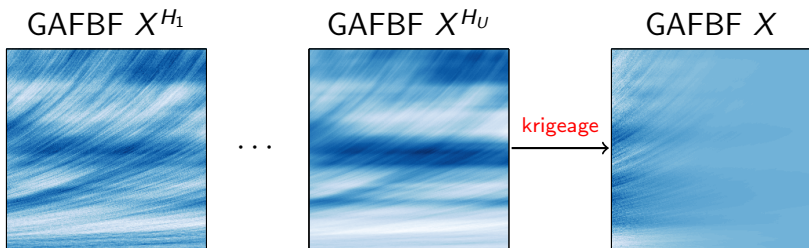
- ① Simuler U GAFBF X^{H_u} à régularité constante $(H_u)_{1 \leq u \leq U}$:

$$X^{H_u}(\mathbf{x}_0) \leftarrow Y_{\mathbf{x}_0}(\mathbf{x} = \mathbf{x}_0) = \int_{\mathbb{R}^2} (e^{j\langle \mathbf{x}, \boldsymbol{\xi} \rangle} - 1) \frac{C_{\mathbf{x}_0}(\boldsymbol{\xi})}{\|\boldsymbol{\xi}\|^{H_u+1}} \widehat{\mathbf{W}}(d\boldsymbol{\xi})$$



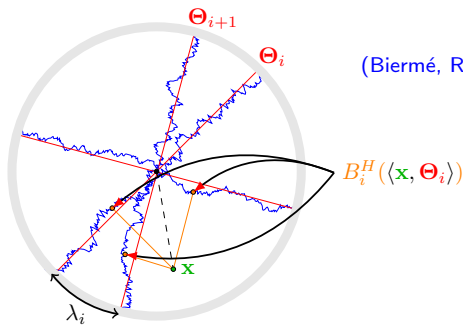
Synthèse du GAFBF inspirée de (Wood, 1994)

- ② Simuler le GAFBF à régularité variable par **krigeage** :
Interpolation spatiale des (X^{H_u}) à partir de la covariance



Synthèse du champ tangent (bandes tournantes)

$$Y_{\mathbf{x}_0}^{[n]}(\mathbf{x}) = \sum_{i=1}^n \omega_i(\mathbf{x}_0) B_i^H(\langle \mathbf{x}, \Theta_i \rangle),$$
$$\omega_i(\mathbf{x}_0)^2 = \lambda_i \gamma(h(\mathbf{x}_0)) C_{\mathbf{x}_0}(\Theta_i)$$



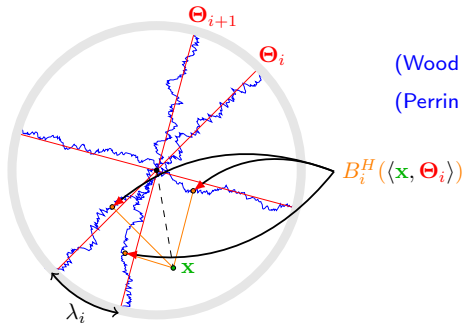
(Matheron, 1973)

(Biermé, Richard, Moisan, 2015)

Synthèse du champ tangent (bandes tournantes)

$$Y_{x_0}^{[n]}(\mathbf{x}) = \sum_{i=1}^n \omega_i(\mathbf{x}_0) B_i^H(\langle \mathbf{x}, \Theta_i \rangle),$$

⇒ Simuler n FBM B_i^H de complexité $O(\ell \log \ell)$



(Wood et coll., 1994)

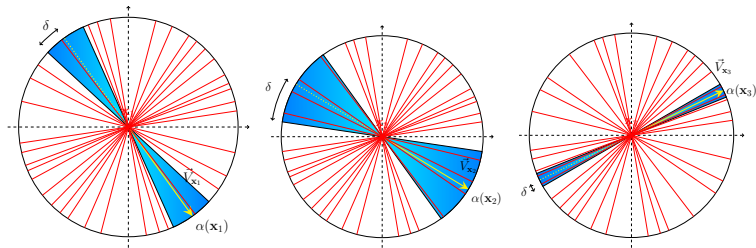
(Perrin et coll., 2002)

$B_i^H(\langle \mathbf{x}, \Theta_i \rangle)$

Simulation du LAFBF à H constant

$$B_{\alpha,\delta}^H(\mathbf{x}_0) \leftarrow Y_{\mathbf{x}_0}^{[n]}(\mathbf{x} = \mathbf{x}_0) = \sum_{i=1}^n \omega_i(\mathbf{x}_0) B_i^H(\langle \mathbf{x}_0, \Theta_i \rangle),$$

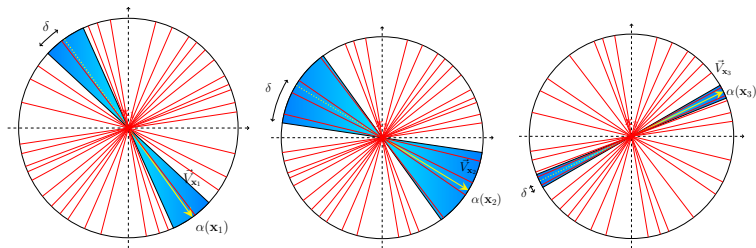
$$\omega_i(\mathbf{x}_0)^2 \propto C_{\mathbf{x}_0}(\Theta_i) = \mathbb{1}_{[-\delta(\mathbf{x}_0), \delta(\mathbf{x}_0)]}(\arg \Theta_i - \alpha(\mathbf{x}_0))$$



Simulation du LAFBF à H constant

$$B_{\alpha,\delta}^H(\mathbf{x}_0) \leftarrow Y_{\mathbf{x}_0}^{[n]}(\mathbf{x} = \mathbf{x}_0) = \sum_{i=1}^n \omega_i(\mathbf{x}_0) B_i^H(\langle \mathbf{x}_0, \Theta_i \rangle),$$

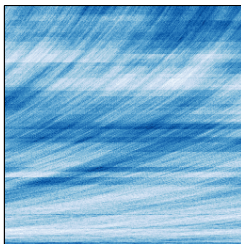
- Pré-calcul des n B_i^H (complexité $O(\ell \log \ell)$)
- Le reste de l'algorithme s'effectue en $O(\log n \times \#\text{pixels})$



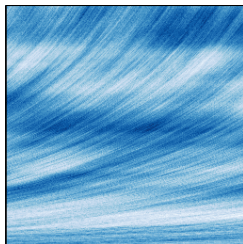
Simulation du LAFBF à H constant

$$B_{\alpha,\delta}^H \leftarrow Y_{\mathbf{x}_0}^{[n]}(\mathbf{x} = \mathbf{x}_0) = \sum_{i=1}^n \omega_i(\mathbf{x}_0) B_i^H(\langle \mathbf{x}_0, \Theta_i \rangle),$$

$$\omega_i(\mathbf{x}_0)^2 \propto C_{\mathbf{x}_0}(\Theta_i) = \mathbb{1}_{[-\delta(\mathbf{x}_0), \delta(\mathbf{x}_0)]}(\arg \Theta_i - \alpha(\mathbf{x}_0))$$



$C_{\mathbf{x}_0}(\Theta_i)$

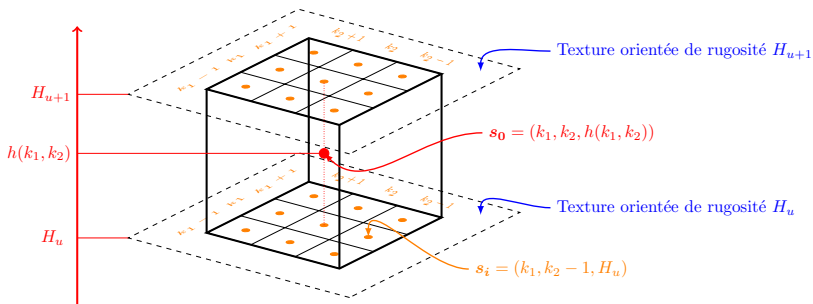


$\tilde{C}_{\mathbf{x}_0}(\Theta_i)$ régularisée

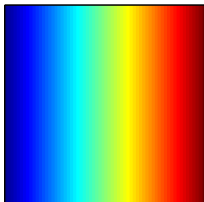
Simulation du LAFBF à h variable (krigeage)

$$\hat{Z}(s_0) = \sum_{i \in \mathcal{V}(s_0)} \lambda_i Z(s_i) = \boldsymbol{\lambda}^T \mathbf{Z} \quad (\text{BLUE})$$

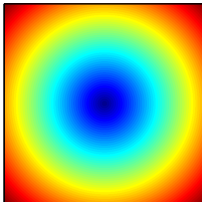
$$\mathbf{Z} = B_{\alpha, \delta}^h, (B_{\alpha, \delta}^{H_u})_{1 \leq u \leq U} \rightarrow Z(s_i), \boldsymbol{\Sigma}_{ij} = \text{Cov}(Z(s_i), Z(s_j)) \rightarrow \boldsymbol{\lambda}$$



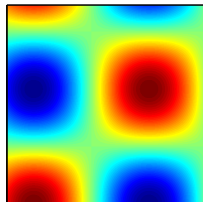
Simulation du LAFBF à h variable (krigeage)



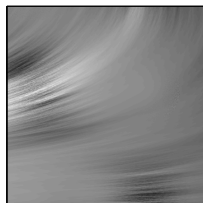
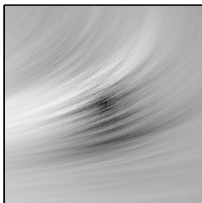
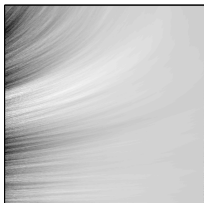
h linéaire



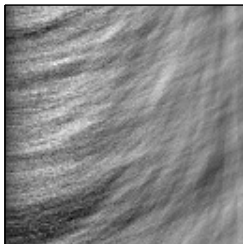
h radiale



h sinusoïdale



Simulation du LAFBF à h variable



- Variation linéaire des **orientations** $\alpha(\mathbf{x})$ selon (Ox)
- Variation linéaire de la **directionnalité** $\delta(\mathbf{x})$ selon (Ox)
- Variation linéaire de la **régularité** $h(\mathbf{x})$ selon (Ox)



Le WAFBF : champs H-sssi déformés

Définition (WAFBF)

Soit X un champ H-sssi et $\Phi : \mathbb{R}^2 \rightarrow \mathbb{R}^2$ une fonction continûment différentiable. Le WAFBF $Z_{\Phi, X}$ est défini comme la déformation du champ X par Φ :

$$Z_{\Phi, X}(\mathbf{x}) = X(\Phi(\mathbf{x})) .$$

Références sur les déformations de champs aléatoires stationnaires :

- (Perrin et Senoussi, 1999, 2000)
- (Guyon et Perrin, 2000)



Le WAFBF : champs H-sssi déformés

Définition (WAFBF)

Soit X un champ H-sssi et $\Phi : \mathbb{R}^2 \rightarrow \mathbb{R}^2$ une fonction continûment différentiable. Le WAFBF $Z_{\Phi, X}$ est défini comme la déformation du champ X par Φ :

$$Z_{\Phi, X}(\mathbf{x}) = X(\Phi(\mathbf{x})) .$$

Théorème (Champ tangent d'un WAFBF)

$Z_{\Phi, X}$ admet en tout point $\mathbf{x}_0 \in \mathbb{R}^2$ un champ tangent :

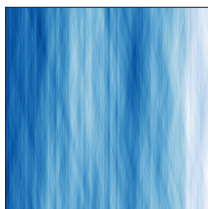
$$Y_{\mathbf{x}_0}(\mathbf{x}) = X(\mathbf{D}\Phi(\mathbf{x}_0) \mathbf{x}) , \quad \forall \mathbf{x} \in \mathbb{R}^2 ,$$

où $\mathbf{D}\Phi(\mathbf{x}_0)$ est la matrice jacobienne de Φ au point \mathbf{x}_0 .



Champ élémentaire déformé

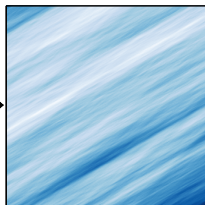
$$C(\xi) = \mathbb{1}_{[-\delta, \delta]}(\arg \xi)$$



X

$$\Phi(x)$$
$$\mathbf{R}_{-\alpha(x)} x$$

WAFBF



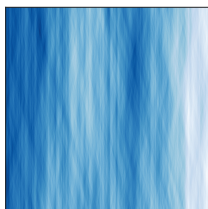
$Z = X \circ \Phi$

$$\alpha(x_1, x_2) = -\frac{\pi}{4}$$



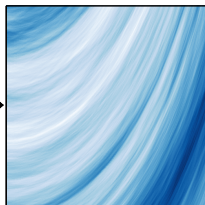
Champ élémentaire déformé

$$C(\xi) = \mathbb{1}_{[-\delta, \delta]}(\arg \xi)$$



X

$$\Phi(x)$$
$$\mathbf{R}_{-\alpha(x)} x$$



$Z = X \circ \Phi$

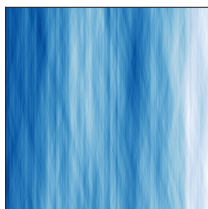
WAFBF

$$\alpha(x_1, x_2) = -\frac{\pi}{2} + x_1$$



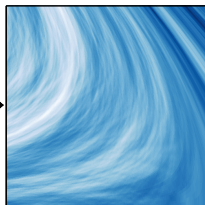
Champ élémentaire déformé

$$C(\xi) = \mathbb{1}_{[-\delta, \delta]}(\arg \xi)$$



X

$$\Phi(x)$$
$$\mathbf{R}_{-\alpha(x)} x$$



$Z = X \circ \Phi$

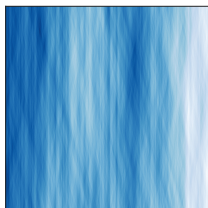
WAFBF

$$\alpha(x_1, x_2) = -\frac{\pi}{2} + x_2$$



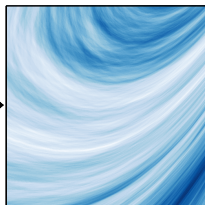
Champ élémentaire déformé

$$C(\xi) = \mathbb{1}_{[-\delta, \delta]}(\arg \xi)$$



X

$$\Phi(x)$$
$$\mathbf{R}_{-\alpha(x)} x$$



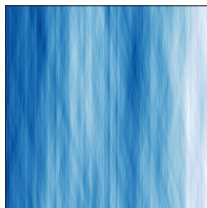
WAFBF

$Z = X \circ \Phi$

$$\alpha(x_1, x_2) = -\frac{\pi}{2} + x_1^2 - x_2$$

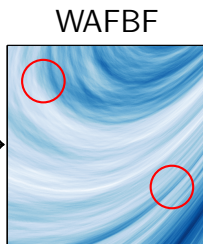
Champ élémentaire déformé

$$C(\xi) = \mathbb{1}_{[-\delta, \delta]}(\arg \xi)$$



X

$$\begin{array}{c} \Phi(x) \\ \longrightarrow \\ \mathbf{R}_{-\alpha(x)}x \end{array}$$

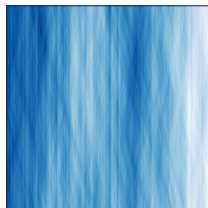


$$Z = X \circ \Phi$$

- 1 La **directionnalité** n'est pas contrôlée

Champ élémentaire déformé

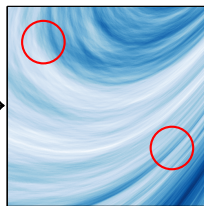
$$C(\xi) = \mathbb{1}_{[-\delta, \delta]}(\arg \xi)$$



X

$$\begin{array}{c} \Phi(\mathbf{x}) \\ \longrightarrow \\ \mathbf{R}_{-\alpha(\mathbf{x})}\mathbf{x} \end{array}$$

WAFBF

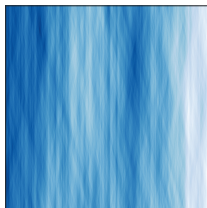


$Z = X \circ \Phi$

- 1 La **directionnalité** n'est pas contrôlée
- 2 Quelle **transformation** Φ permet de prescrire en tout point les orientations $\alpha(\mathbf{x})$?

Champ élémentaire déformé

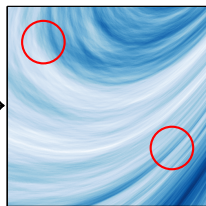
$$C(\xi) = \mathbb{1}_{[-\delta, \delta]}(\arg \xi)$$



X

$$\begin{array}{c} \Phi(\mathbf{x}) \\ \longrightarrow \\ \mathbf{R}_{-\alpha(\mathbf{x})}\mathbf{x} \end{array}$$

WAFBF



$Z = X \circ \Phi$

- 1 La **directionnalité** n'est pas contrôlée
- 2 Quelle **transformation** Φ permet de prescrire en tout point les orientations $\alpha(\mathbf{x})$?
- 3 Quelle **définition** pour l'orientation d'un champ aléatoire ?



Plan de l'exposé

- 1 Motivations
- 2 Modélisation et synthèse de textures orientées contrôlables
 - Du mouvement brownien aux champs aléatoires anisotropes
 - Premier modèle (GAFBF) : champs H-sssi localisés
 - Second modèle (WAFBF) : champs H-sssi déformés
- 3 Analyse de l'orientation des champs aléatoires anisotropes
 - Définition de l'orientation d'un champ H-sssi par ondelettes monogènes
 - Orientation d'un champ localisable et application aux GAFBF et WAFBF
- 4 Super-résolution de lignes 2-D diffractées et bruitées
 - Principe de super-résolution
 - Modélisation des lignes diffractées et formulation d'un problème inverse
 - Résolution du problème d'optimisation et estimation des paramètres des lignes
- 5 Conclusion et perspectives



Orientation locale d'une fonction déterministe

Transformée de Riesz et signal monogène (Felsberg, 2001)

L'opérateur de Riesz $\mathcal{R} : f \mapsto (\mathcal{R}_1 f, \mathcal{R}_2 f)$ est défini par :

$$\widehat{\mathcal{R}_1 f}(\boldsymbol{\omega}) = -j \frac{\omega_1}{\|\boldsymbol{\omega}\|} \widehat{f}(\boldsymbol{\omega}), \quad \widehat{\mathcal{R}_2 f}(\boldsymbol{\omega}) = -j \frac{\omega_2}{\|\boldsymbol{\omega}\|} \widehat{f}(\boldsymbol{\omega})$$

\Rightarrow **Orientation** : $\mathbf{n}(\mathbf{x}) = \frac{\mathcal{R}f(\mathbf{x})}{\|\mathcal{R}f(\mathbf{x})\|}$, $\theta(\mathbf{x}) = \arctan\left(\frac{\mathcal{R}_2 f(\mathbf{x})}{\mathcal{R}_1 f(\mathbf{x})}\right)$

\Rightarrow (Plus robuste) minimiser les écarts de direction à $\mathcal{R}f$:

$$\max_{\theta'} \int_{\mathbb{R}^2} w(\mathbf{x} - \mathbf{x}') \langle \mathbf{n}(\theta'), \mathcal{R}f(\mathbf{x}') \rangle^2 d\mathbf{x}' = \max_{\theta'} \mathbf{n}(\theta')^T \mathbf{J}_f^W(\mathbf{x}) \mathbf{n}(\theta')$$

$$[\mathbf{J}_f^W(\mathbf{x})]_{pq} = \int_{\mathbb{R}^2} w(\mathbf{x} - \mathbf{x}') \mathcal{R}_p f(\mathbf{x}') \mathcal{R}_q f(\mathbf{x}') d\mathbf{x}', \quad p, q \in \{1, 2\}$$



Orientation locale d'une fonction déterministe

Coefficients d'ondelettes monogènes (Unser, Olhede, 2009)

Soit $\psi_{i,\mathbf{k}}(\mathbf{x}) = 2^i \psi(2^i \mathbf{x} - \mathbf{k})$ une trame d'ondelettes à partir d'une ondelette réelle isotrope $\widehat{\psi}(\boldsymbol{\xi}) = \varphi(\|\boldsymbol{\xi}\|)$. On considère les coefficients d'ondelettes de $\mathcal{R}f$ dans la trame $\{\psi_{i,\mathbf{k}}\}$:

$$c_{i,\mathbf{k}}^{(\mathcal{R})}(f) = \begin{pmatrix} c_{i,\mathbf{k}}^{(1)}(f) \\ c_{i,\mathbf{k}}^{(2)}(f) \end{pmatrix} = \begin{pmatrix} \langle \mathcal{R}_1 f, \psi_{i,\mathbf{k}} \rangle \\ \langle \mathcal{R}_2 f, \psi_{i,\mathbf{k}} \rangle \end{pmatrix} = \begin{pmatrix} \langle f, \mathcal{R}_1 \psi_{i,\mathbf{k}} \rangle \\ \langle f, \mathcal{R}_2 \psi_{i,\mathbf{k}} \rangle \end{pmatrix}$$

$$\mathbf{J}_{f,i}^W[\mathbf{k}] = c_{i,\mathbf{k}}^{(\mathcal{R})}(f) c_{i,\mathbf{k}}^{(\mathcal{R})}(f)^* = \begin{pmatrix} |c_{i,\mathbf{k}}^{(1)}(f)|^2 & c_{i,\mathbf{k}}^{(1)}(f) \cdot \overline{c_{i,\mathbf{k}}^{(2)}(f)} \\ c_{i,\mathbf{k}}^{(1)}(f) \cdot c_{i,\mathbf{k}}^{(2)}(f) & |c_{i,\mathbf{k}}^{(1)}(f)|^2 \end{pmatrix}$$



Orientation pour un champ H-sssi

Coefficients d'ondelettes monogènes d'un champ H-sssi X

$$c_{i,k}^{(\ell)}(X) = \langle X, \mathcal{R}_\ell \psi_{i,k} \rangle = \int_{\mathbb{R}^2} \widehat{\mathcal{R}_\ell \psi_{i,k}}(\xi) C(\xi) \|\xi\|^{-H-1} \widehat{\mathbf{W}}(d\xi)$$

Théorème (Polisano et coll., 2017)

Soit $\Sigma(c_{i,k}^{(\mathcal{R})}(X)) = \mathbb{E}[c_{i,k}^{(\mathcal{R})}(X)c_{i,k}^{(\mathcal{R})}(X)^*]$, alors :

$$\Sigma(c_{i,k}^{(\mathcal{R})}(X)) = 2^{-2i(H+1)} \left[\int_0^{+\infty} \frac{|\varphi(r)|^2}{r^{2H+1}} dr \right] \mathbf{J}_X,$$

où \mathbf{J}_X est appelée **tenseur de structure** de X défini par :

$$[\mathbf{J}_X]_{pq} = \int_{\Theta \in \mathbb{S}^1} \Theta_p \Theta_q C(\Theta)^2 d\Theta, \quad p, q \in \{1, 2\}.$$



Orientation pour un champ H-sssi

Définition (Orientation et indice de cohérence du H-sssi X)

- L'**orientation** \vec{n}_X de X est le **vecteur propre** unitaire associé à la plus grande des valeurs propres λ_1, λ_2 de \mathbf{J}_X
- L'**indice de cohérence** de X est défini par

$$\chi = \frac{|\lambda_2 - \lambda_1|}{\lambda_1 + \lambda_2}$$



Calcul d'orientation de champs dérivés d'un EF

- $X = X_{\alpha_0, \delta}$ avec $C(\Theta) = \mathbb{1}_{[-\delta, \delta]}(\arg \Theta - \alpha_0)$ (EF)

$$\vec{n}_X = \begin{pmatrix} \cos \alpha_0 \\ \sin \alpha_0 \end{pmatrix} \stackrel{\text{def}}{=} \mathbf{u}(\alpha_0), \quad \chi = \frac{\sin(2\delta)}{2\delta}$$



Calcul d'orientation de champs dérivés d'un EF

- $X = X_{\alpha_0, \delta}$ avec $C(\Theta) = \mathbb{1}_{[-\delta, \delta]}(\arg \Theta - \alpha_0)$ (EF)

$$\vec{n}_X = \begin{pmatrix} \cos \alpha_0 \\ \sin \alpha_0 \end{pmatrix} \stackrel{\text{def}}{=} \mathbf{u}(\alpha_0), \quad \chi = \frac{\sin(2\delta)}{2\delta}$$

- $X = X_{\alpha_0, \delta} + X_{\alpha_1, \delta}$ (somme de 2 EF)

$$\vec{n}_X = \mathbf{u}\left(\frac{\alpha_0 + \alpha_1}{2}\right), \quad \chi = \frac{\sin(2\delta)}{2\delta} \cos(\alpha_0 - \alpha_1)$$



Calcul d'orientation de champs dérivés d'un EF

- $X = X_{\alpha_0, \delta}$ avec $C(\Theta) = \mathbb{1}_{[-\delta, \delta]}(\arg \Theta - \alpha_0)$ (EF)

$$\vec{n}_X = \begin{pmatrix} \cos \alpha_0 \\ \sin \alpha_0 \end{pmatrix} \stackrel{\text{def}}{=} \mathbf{u}(\alpha_0), \quad \chi = \frac{\sin(2\delta)}{2\delta}$$

- $X = X_{\alpha_0, \delta} + X_{\alpha_1, \delta}$ (somme de 2 EF)

$$\vec{n}_X = \mathbf{u} \left(\frac{\alpha_0 + \alpha_1}{2} \right), \quad \chi = \frac{\sin(2\delta)}{2\delta} \cos(\alpha_0 - \alpha_1)$$

- $X_{\mathbf{L}}(\mathbf{x}) = X_{\alpha_0, \delta}(\mathbf{L}\mathbf{x})$ (déformation linéaire d'un EF)

$$\vec{n}_{X_{\mathbf{L}}} = \frac{\mathbf{L}^T \mathbf{u}(\alpha_0)}{\|\mathbf{L}^T \mathbf{u}(\alpha_0)\|}$$



Orientation d'un champ gaussien localisable

Champ gaussien localisable

Un champ aléatoire $X = \{X(\mathbf{x}), \mathbf{x} \in \mathbb{R}^2\}$ est dit **localisable**, si il admet un **champ tangent** en tout point $\mathbf{x} \in \mathbb{R}^2$.

Références : (Lévy-Véhel, 1995), (Benassi et coll., 1997), (Falconer, 2002).

Définition (Orientation locale d'un champ gaussien localisable)

L' **orientation locale** $\vec{n}_X(\mathbf{x}_0)$ du champ gaussien localisable X au point \mathbf{x}_0 est l'orientation de son champ tangent $Y_{\mathbf{x}_0}$ H-sssi :

$$\vec{n}_X(\mathbf{x}_0) \equiv \vec{n}_{Y_{\mathbf{x}_0}}$$

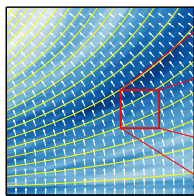


Orientation d'un champ gaussien localisable

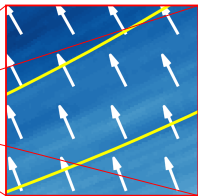
Orientation locale du LAFBF X

L'orientation locale $\vec{n}_X(\mathbf{x}_0)$ et l'indice de cohérence $\chi(\mathbf{x}_0)$ de X en \mathbf{x}_0 sont ceux du champ élémentaire $X_{\alpha(\mathbf{x}_0), \delta(\mathbf{x}_0)}$:

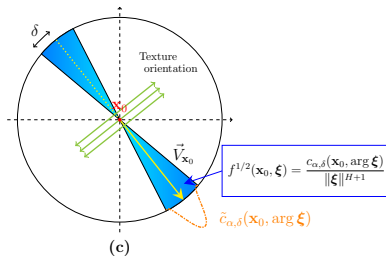
$$\vec{n}_X(\mathbf{x}_0) \equiv \vec{n}_{X_{\alpha(\mathbf{x}_0), \delta(\mathbf{x}_0)}} = \begin{pmatrix} \cos \alpha(\mathbf{x}_0) \\ \sin \alpha(\mathbf{x}_0) \end{pmatrix}, \quad \chi(\mathbf{x}_0) = \frac{\sin(2\delta(\mathbf{x}_0))}{2\delta(\mathbf{x}_0)}$$



(a)



(b)



(c)

Orientation d'un champ gaussien localisable

Orientation locale du WAFBF où $X = X_{\alpha_0, \delta}$ est un EF

Le champ tangent de $Z_{\Phi, X}(\mathbf{x}) = X_{\alpha_0, \delta}(\Phi(\mathbf{x}))$ en \mathbf{x}_0 est

$$Y_{\mathbf{x}_0}(\mathbf{x}) = X_{\alpha_0, \delta}(\mathbf{D}\Phi(\mathbf{x}_0) \mathbf{x}), \quad \forall \mathbf{x} \in \mathbb{R}^2$$

dont l'orientation est $\vec{n}_{Y_{\mathbf{x}_0}} = \frac{\mathbf{L}^T \mathbf{u}(\alpha_0)}{\|\mathbf{L}^T \mathbf{u}(\alpha_0)\|}$ avec $\mathbf{L} = \mathbf{D}\Phi(\mathbf{x}_0)$, d'où

$$\vec{n}_Z(\mathbf{x}_0) \equiv \vec{n}_{Y_{\mathbf{x}_0}} = \frac{\mathbf{D}\Phi(\mathbf{x}_0)^T \mathbf{u}(\alpha_0)}{\|\mathbf{D}\Phi(\mathbf{x}_0)^T \mathbf{u}(\alpha_0)\|}$$

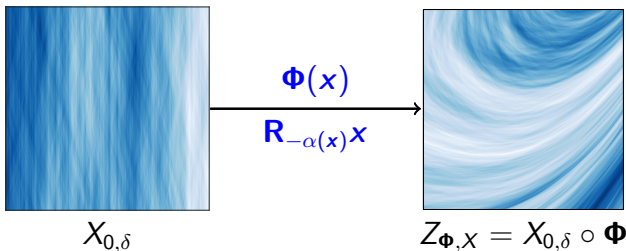


Orientation d'un champ gaussien localisable

Exemple (Rotation locale du WAFBF où $X = X_{0,\delta}$)

L'orientation locale de $Z_{\Phi,X}(\mathbf{x}) = X_{0,\delta}(\Phi(\mathbf{x}))$ en \mathbf{x}_0 avec $\Phi(\mathbf{x}) = \mathbf{R}_{-\alpha(\mathbf{x})}\mathbf{x}$ est donnée par $\vec{n}_Z(\mathbf{x}_0) = \frac{\mathbf{D}\Phi(\mathbf{x}_0)^T \mathbf{e}_1}{\|\mathbf{D}\Phi(\mathbf{x}_0)^T \mathbf{e}_1\|}$ soit :

$$\vec{n}_Z(\mathbf{x}_0) = \frac{\mathbf{u}(\alpha(\mathbf{x}_0)) + \langle \mathbf{u}(\alpha(\mathbf{x}_0))^\perp, \mathbf{x}_0 \rangle \nabla \alpha(\mathbf{x}_0)}{\|\mathbf{u}(\alpha(\mathbf{x}_0)) + \langle \mathbf{u}(\alpha(\mathbf{x}_0))^\perp, \mathbf{x}_0 \rangle \nabla \alpha(\mathbf{x}_0)\|}$$



Orientations prescrites pour un WAFBF

Proposition (Contrôle d'orientation par fonctions harmoniques)

Soit $Z_{\Phi_\alpha, X}(\mathbf{x})$ le champ $X = X_{0, \delta}$ d'orientation $\mathbf{e}_1 = (1, 0)^\top$ déformé par une **transformation conforme** Φ_α définie par :

- 1 $\alpha : \mathbb{R}^2 \rightarrow \mathbb{R}$ une fonction harmonique,
- 2 λ sa fonction conjuguée harmonique telle que $\Psi_\alpha = \begin{pmatrix} \lambda \\ -\alpha \end{pmatrix}$ est holomorphe,
- 3 Φ_α une primitive complexe de $\exp(\Psi_\alpha)$.

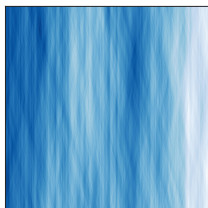
L'orientation locale (à δ^2 près) de $Z_{\Phi_\alpha, X}$ en \mathbf{x}_0 est

$$\vec{n}_Z(\mathbf{x}_0) = \begin{pmatrix} \cos \alpha(\mathbf{x}_0) \\ \sin \alpha(\mathbf{x}_0) \end{pmatrix} = \mathbf{u}(\alpha(\mathbf{x}_0))$$



Orientations prescrites pour un WAFBF

$$C(\xi) = \mathbb{1}_{[-\delta, \delta]}(\arg \xi)$$

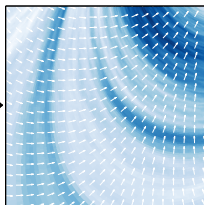


$X_{0,\delta}$

Φ_α

$$\alpha(x_1, x_2) = ax_1 + bx_2 + c$$

$$\text{WAFBF } (a, b) = (2, -1)$$



$Z = X_{0,\delta} \circ \Phi_\alpha$

$$\Phi_\alpha(x_1, x_2) = \frac{\exp(ax_2 - bx_1)}{a^2 + b^2} \begin{pmatrix} a \sin(ax_1 + bx_2 + c) - b \cos(ax_1 + bx_2 + c) \\ a \cos(ax_1 + bx_2 + c) + b \sin(ax_1 + bx_2 + c) \end{pmatrix}$$

$$\vec{n}_Z(x) = \frac{\mathbf{D}\Phi(x)^T \mathbf{e}_1}{\|\mathbf{D}\Phi(x)^T \mathbf{e}_1\|} = \mathbf{u}(\alpha(x))$$



Plan de l'exposé

- 1 Motivations
- 2 Modélisation et synthèse de textures orientées contrôlables
 - Du mouvement brownien aux champs aléatoires anisotropes
 - Premier modèle (GAFBF) : champs H-sssi localisés
 - Second modèle (WAFBF) : champs H-sssi déformés
- 3 Analyse de l'orientation des champs aléatoires anisotropes
 - Définition de l'orientation d'un champ H-sssi par ondelettes monogènes
 - Orientation d'un champ localisable et application aux GAFBF et WAFBF
- 4 Super-résolution de lignes 2-D diffractées et bruitées
 - Principe de super-résolution
 - Modélisation des lignes diffractées et formulation d'un problème inverse
 - Résolution du problème d'optimisation et estimation des paramètres des lignes
- 5 Conclusion et perspectives



Enhance it !



Enhance it !

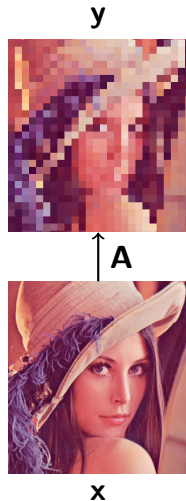


Problème inverse

$$y = \mathbf{A}x$$

Exemple (Opérateur de dégradation)

- \mathbf{A} = sous-échantillonnage
- \mathbf{A} = flou
- ...



Problème inverse

$$y = Ax$$

Exemple (Opérateur de dégradation)

- **A** = sous-échantillonnage
- **A** = flou
- ...

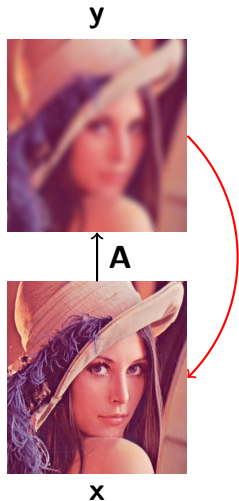


Problème inverse

$$y = Ax$$

Exemple (Opérateur de dégradation)

- **A** = sous-échantillonnage
- **A** = flou
- ...

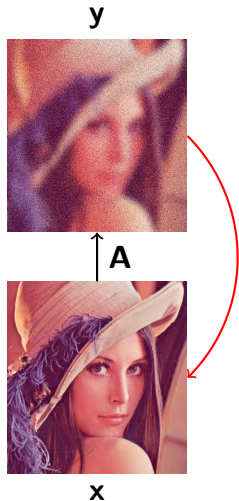


Problème inverse

$$y = Ax + \epsilon$$

Exemple (Opérateur de dégradation)

- **A** = sous-échantillonnage
- **A** = flou
- ...

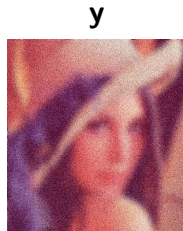


Problème inverse

$$\mathbf{y} - \mathbf{Ax} = \boldsymbol{\epsilon}$$

Exemple (Opérateur de dégradation)

- \mathbf{A} = sous-échantillonnage
- \mathbf{A} = flou
- ...



\mathbf{y}



\mathbf{x}

\mathbf{A}



Problème inverse

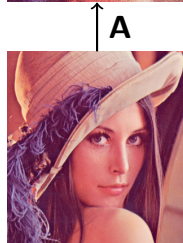
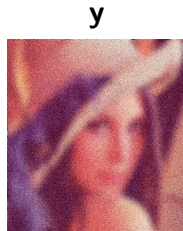
Minimisation (attache aux données)

Problème **mal posé** :

$$\arg \min_x \frac{1}{2} \|\mathbf{y} - \mathbf{Ax}\|^2$$

Exemple (Opérateur de dégradation)

- **A** = sous-échantillonnage
- **A** = flou
- ...



A

x

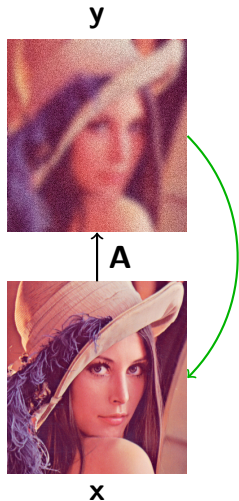
Problème inverse

Minimisation (régularisation convexe)

$$\arg \min_{\mathbf{x}} \frac{1}{2} \|\mathbf{y} - \mathbf{Ax}\|^2 + \boxed{\lambda R(\mathbf{x})}$$

Exemple (Régulariseur)

- $R(\mathbf{x}) = \|\nabla \mathbf{x}\|_2^2$ (Tikhonov, 1963)
- $R(\mathbf{x}) = \|\nabla \mathbf{x}\|_1$ (Rudin et coll., 1992)
- $R(\mathbf{x}) = \|\mathbf{x}\|_{\mathcal{A}}$ (Chandrasekaran, 2010)



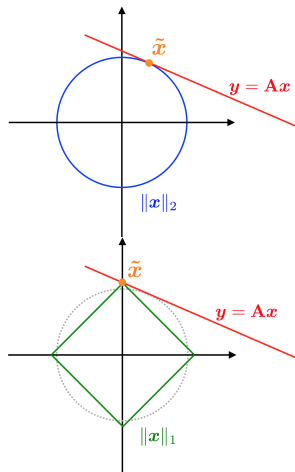
Problème inverse

Minimisation (régularisation convexe)

$$\arg \min_{\mathbf{x}} \frac{1}{2} \|\mathbf{y} - \mathbf{Ax}\|^2 + \boxed{\lambda R(\mathbf{x})}$$

Exemple (Régulariseur)

- $R(\mathbf{x}) = \|\nabla \mathbf{x}\|_2^2$ (Tikhonov, 1963)
- $R(\mathbf{x}) = \|\nabla \mathbf{x}\|_1$ (Rudin et coll., 1992)
- $R(\mathbf{x}) = \|\mathbf{x}\|_{\mathcal{A}}$ (Chandrasekaran, 2010)



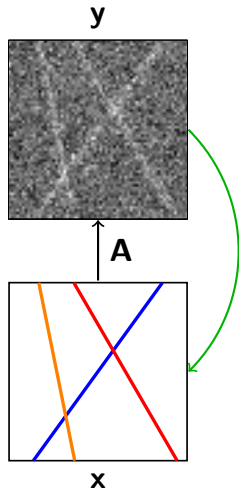
Problème inverse

Minimisation (régularisation convexe)

$$\arg \min_{\mathbf{x}} \frac{1}{2} \|\mathbf{y} - \mathbf{Ax}\|^2 + \lambda R(\mathbf{x})$$

Exemple (Régulariseur)

- $R(\mathbf{x}) = \|\nabla \mathbf{x}\|_2^2$ (Tikhonov, 1963)
- $R(\mathbf{x}) = \|\nabla \mathbf{x}\|_1$ (Rudin et coll., 1992)
- $R(\mathbf{x}) = \|\mathbf{x}\|_{\mathcal{A}}$ (Chandrasekaran, 2010)



Paradigme de la décomposition atomique

$$\mathbf{x} = \sum_{i=1}^K c_i \mathbf{a}_i, \quad c_i \geq 0, \quad \mathbf{a}_i \in \mathcal{A}$$

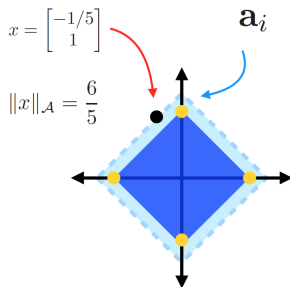
Norme atomique

$$\begin{aligned} \|\mathbf{x}\|_{\mathcal{A}} &= \inf \{t > 0 : \mathbf{x} \in t\text{conv}(\mathcal{A})\} \\ &= \inf \left\{ \sum_{\mathbf{a} \in \mathcal{A}} c_{\mathbf{a}} : \mathbf{x} = \sum_{\mathbf{a} \in \mathcal{A}} c_{\mathbf{a}} \mathbf{a} \right\} \end{aligned}$$

$$\mathcal{A} = \left\{ \begin{bmatrix} 1 \\ 0 \end{bmatrix}, \begin{bmatrix} 0 \\ 1 \end{bmatrix}, \begin{bmatrix} -1 \\ 0 \end{bmatrix}, \begin{bmatrix} 0 \\ -1 \end{bmatrix} \right\}$$

$$\|\mathbf{x}\|_{\mathcal{A}} = \|\mathbf{x}\|_1$$

(Chandrasekaran et coll., 2010)



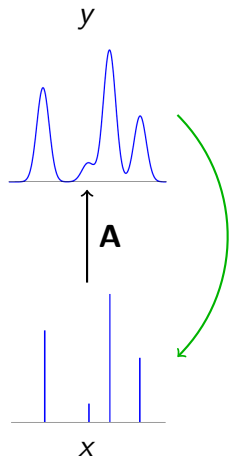
Application : super-résolution d'impulsions 1-D

$$x = \sum_{i=1}^K c_i \delta_{t_i}, \quad c_i \geq 0, \quad t_i \geq 0$$

Minimisation (régularisation convexe)

$$\arg \min_x \frac{1}{2} \|y - \mathbf{A}x\|^2 + \lambda \|x\|_{\text{TV}}$$

Référence : (Candès et Fernandez-Granda, 2012)



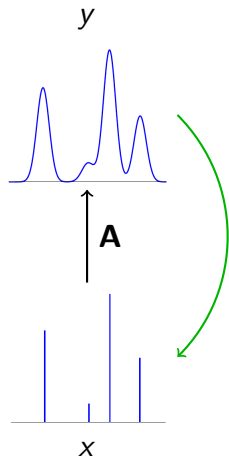
Application : super-résolution d'impulsions 1-D

$$\mathcal{F}x = \sum_{i=1}^K c_i e^{j2\pi f_i \omega}, \quad c_i \geq 0, \quad t_i \geq 0$$

Minimisation (régularisation convexe)

$$\arg \min_x \frac{1}{2} \|y - \mathbf{A}x\|^2 + \lambda \|x\|_A$$

Référence : (Tang, Bhaskar, Recht et coll., 2013)



Application : super-résolution d'impulsions 1-D

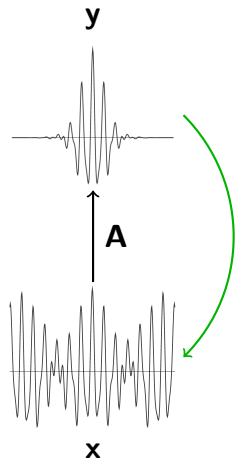
$$\mathbf{x} = \sum_{i=1}^K c_i \mathbf{a}(f_i), \quad c_i \geq 0, \quad \mathbf{a}(f_i) \in \mathcal{A}$$

$$\mathcal{A} = \{\mathbf{a}(f) \in \mathbb{C}^N\}, \quad [\mathbf{a}(f)]_n = e^{j2\pi fn}$$

Minimisation (régularisation convexe)

$$\arg \min_{\mathbf{x}} \frac{1}{2} \|\mathbf{y} - \mathbf{A}\mathbf{x}\|^2 + \lambda \|\mathbf{x}\|_{\mathcal{A}}$$

Référence : (Tang, Bhaskar, Recht et coll., 2013)



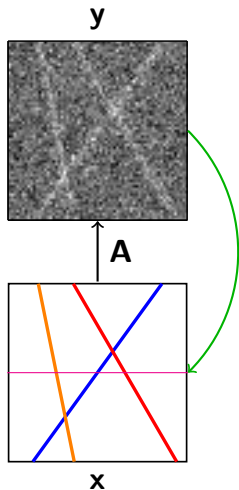
Problème inverse

Minimisation (régularisation convexe)

$$\arg \min_{\mathbf{x}} \frac{1}{2} \|\mathbf{y} - \mathbf{Ax}\|^2 + \lambda R(\mathbf{x})$$

Exemple (Régulariseur)

- $R(\mathbf{x}) = \|\nabla \mathbf{x}\|_2^2$
- $R(\mathbf{x}) = \|\nabla \mathbf{x}\|_1$
- $R(\mathbf{x}) = \|\mathbf{x}\|_{\mathcal{A}}$ parcimonie



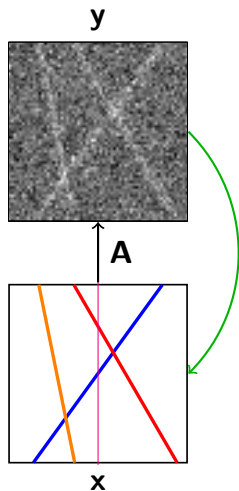
Problème inverse

Minimisation (régularisation convexe)

$$\arg \min_{\mathbf{x}} \frac{1}{2} \|\mathbf{y} - \mathbf{Ax}\|^2 + \lambda R(\mathbf{x})$$

Exemple (Régulariseur)

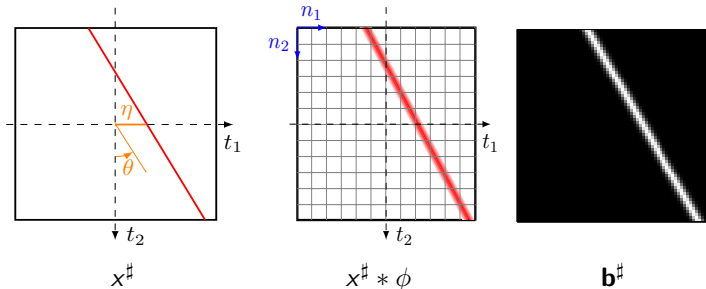
- $R(\mathbf{x}) = \|\nabla \mathbf{x}\|_2^2$
- $R(\mathbf{x}) = \|\nabla \mathbf{x}\|_1$
- $R(\mathbf{x}) = \|\mathbf{x}\|_{\mathcal{A}}$ parcimonie



Modélisation des droites

$$x^\sharp : (t_1, t_2) \in \mathbb{P} \mapsto \sum_{k=1}^K \alpha_k \delta(\cos \theta_k (t_1 - \eta_k) + \sin \theta_k t_2)$$

$$b^\sharp[n_1, n_2] = (x^\sharp * \phi)(n_1, n_2)$$

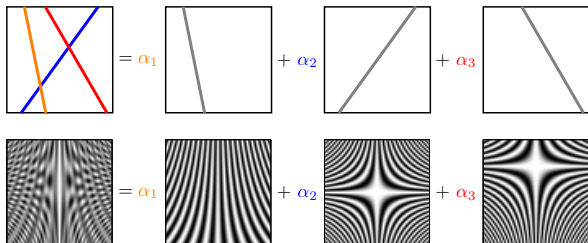


Modélisation des droites

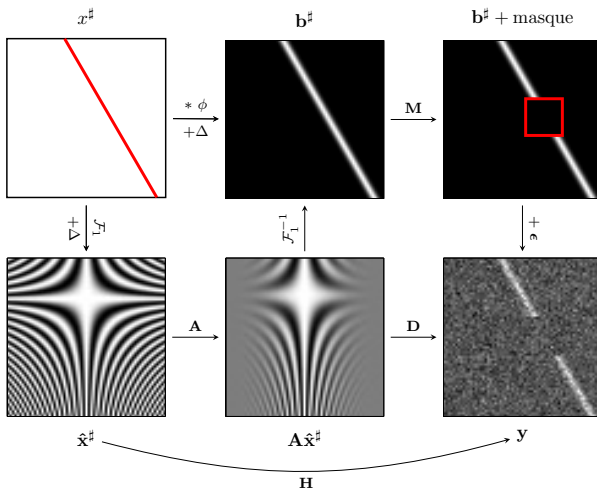
$$\hat{\mathbf{x}}^\sharp[m, n_2] = (\mathcal{F}_1 \mathbf{x}^\sharp)[m, n_2] = \sum_{k=1}^K c_k e^{j2\pi \left(\frac{\tan \theta_k}{W} n_2 + \frac{\eta_k}{W} \right) m}$$

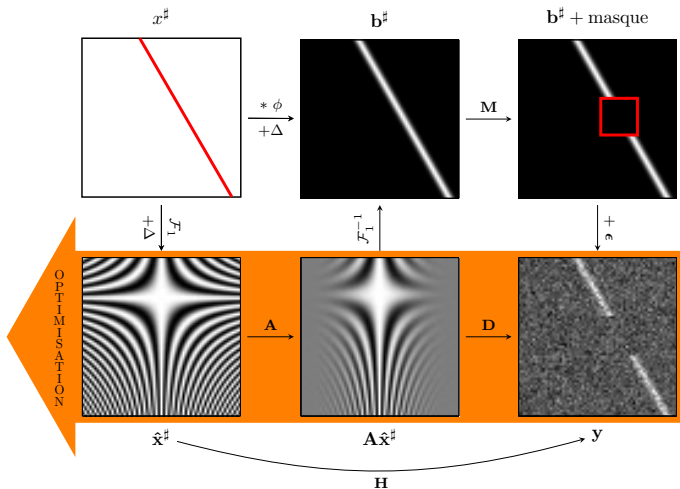
$$c_k = \frac{\alpha_k}{\cos \theta_k} \geq 0$$

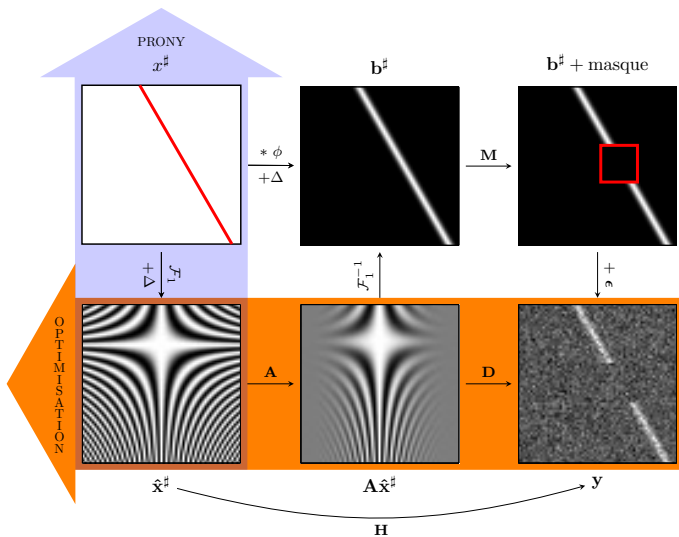
$$\hat{\mathbf{b}}^\sharp[m, :] = (\hat{\mathbf{g}}[m] \hat{\mathbf{x}}^\sharp[m, :]) * \mathbf{h} \rightarrow \mathbf{A} \hat{\mathbf{x}}^\sharp = \hat{\mathbf{b}}^\sharp$$



Étapes de reconstruction







Décomposition atomique des lignes

$$\hat{\mathbf{x}}^\sharp[m, n_2] = \sum_{k=1}^K c_k e^{j2\pi \left(\frac{\tan \theta_k}{W} n_2 + \frac{\eta_k}{W} \right) m}$$

$$I_{n_2}^\sharp = \hat{\mathbf{x}}^\sharp[:, n_2] = \sum_{k=1}^K c_k \mathbf{a}(f_{n_2, k}, 0), \quad [\mathbf{a}(f, \phi)]_i = e^{j(2\pi f i + \phi)} \in \mathcal{A}$$

Décomposition atomique des colonnes

$$\hat{\mathbf{x}}^\sharp[m, n_2] = \sum_{k=1}^K c_k e^{j2\pi \left(\frac{\tan \theta_k}{W} m \right) n_2 + \frac{2\pi \eta_k m}{W}}$$

$$\mathbf{t}_m^\sharp = \hat{\mathbf{x}}^\sharp[m, :] = \sum_{k=1}^K c_k \mathbf{a}(f_{m,k}, \phi_{m,k})^\top, \quad [\mathbf{a}(f, \phi)]_i = e^{j(2\pi f i + \phi)} \in \mathcal{A}$$



Décomposition atomique des lignes et colonnes

$$\hat{\mathbf{x}}^\# [m, n_2] = \sum_{k=1}^K c_k e^{j2\pi \left(\frac{\tan \theta_k}{W} n_2 + \frac{\eta_k}{W} \right) m}$$

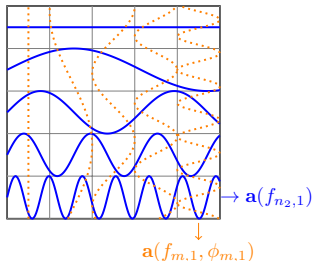
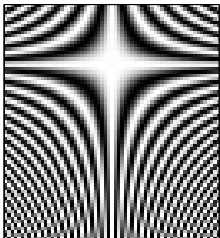
- 1 $l_{n_2}^\# = \sum_{k=1}^K c_k \mathbf{a}(f_{n_2,k}, 0)$ (lignes de $\hat{\mathbf{x}}$, sans phase)
- 2 $t_m^\# = \sum_{k=1}^K c_k \mathbf{a}(f_{m,k}, \phi_{m,k})^\top$ (colonnes de $\hat{\mathbf{x}}$, avec phase)



Décomposition atomique d'une droite ($K = 1$)

$$\hat{\mathbf{x}}^\sharp[m, n_2] = c_1 e^{j2\pi \left(\frac{\tan \theta_1}{W} n_2 + \frac{\eta_1}{W} \right) m}$$

- 1 $l_{n_2}^\sharp = c_1 \mathbf{a}(f_{n_2,1}, 0)$ (un atome **sans phase**)
- 2 $t_m^\sharp = c_1 \mathbf{a}(f_{m,1}, \phi_{m,1})^\top$ (un atome **avec phase**)



Normes atomiques

$$\hat{\mathbf{x}}^\# [m, n_2] = \sum_{k=1}^K c_k e^{j2\pi \left(\frac{\tan \theta_k}{W} n_2 + \frac{\eta_k}{W} \right) m}, \quad \mathbf{c}^* = \sum_{k=1}^K c_k$$

- 1 $\mathbf{l}_{n_2}^\# = \sum_{k=1}^K c_k \mathbf{a}(f_{n_2,k}, 0)$ (lignes de $\hat{\mathbf{x}}$, sans phase)
- 2 $\mathbf{t}_m^\# = \sum_{k=1}^K c_k \mathbf{a}(f_{m,k}, \phi_{m,k})^\top$ (colonnes de $\hat{\mathbf{x}}$, avec phase)

Norme atomique :

$$\|z\|_{\mathcal{A}} = \inf_{c'_k, f'_k, \phi'_k} \left\{ \sum_k c'_k : z = \sum_k c'_k \mathbf{a}(f'_k, \phi'_k) \right\}$$



Normes atomiques

$$\textcircled{1} \quad I_{n_2}^\# = \sum_{k=1}^K c_k \mathbf{a}(f_{n_2,k}, 0)$$

$\hookrightarrow \mathbf{T}_{M+1}(I_{n_2}^\#) \succcurlyeq 0$ + de rang K (Carathéodory, 1907)

$\hookrightarrow \|I_{n_2}^\#\|_{\mathcal{A}} = \sum_{k=1}^K c_k = \hat{\mathbf{x}}^\#[0, n_2]$

$$\textcircled{2} \quad \mathbf{t}_m^\# = \sum_{k=1}^K c_k \mathbf{a}(f_{m,k}, \phi_{m,k})^\top \quad (\text{Tang et coll., 2013})$$

$$\|\mathbf{t}_m^\#\|_{\mathcal{A}} = \inf_{\mathbf{q} \in \mathbb{C}^N, t \in \mathbb{R}} \left\{ \frac{1}{2} \text{Tr}(\mathbf{T}_N(\mathbf{q})) + \frac{1}{2} t : \begin{pmatrix} \mathbf{T}_N(\mathbf{q}) & \mathbf{t}_m^\# \\ \mathbf{t}_m^{\#*} & t \end{pmatrix} \succcurlyeq 0 \right\} .$$



Normes atomiques

$$\textcircled{1} \quad \mathbf{I}_{n_2}^\# = \sum_{k=1}^K c_k \mathbf{a}(f_{n_2,k}, 0)$$

$$\Leftrightarrow \mathbf{T}_{M+1}(\mathbf{I}_{n_2}^\#) \succcurlyeq 0 + \text{de rang } K \quad (\text{Carathéodory, 1907})$$

$$\Leftrightarrow \|\mathbf{I}_{n_2}^\#\|_{\mathcal{A}} = \sum_{k=1}^K c_k = \hat{\mathbf{x}}^\#[0, n_2] = c^*$$

$$\textcircled{2} \quad \mathbf{t}_m^\# = \sum_{k=1}^K c_k \mathbf{a}(f_{m,k}, \phi_{m,k})^\top \quad (\text{Polisano et coll., 2016})$$

$$\|\mathbf{t}_m^\#\|_{\mathcal{A}} = \min_{\mathbf{q} \in \mathbb{C}^N} \left\{ q_0 : \underbrace{\begin{pmatrix} \mathbf{T}_N(\mathbf{q}) & \mathbf{t}_m^\# \\ \mathbf{t}_m^{\#*} & q_0 \end{pmatrix}}_{\mathbf{T}'_N(\mathbf{t}_m^\#, \mathbf{q})} \succcurlyeq 0 \right\} \equiv \text{SDP}(\mathbf{t}_m^\#),$$

$$\Leftrightarrow \|\mathbf{t}_m^\#\|_{\mathcal{A}} = \text{SDP}(\mathbf{t}_m^\#) = \mathbf{q}_m[0] \leq c^*$$



Normes atomiques

$$\hat{\mathbf{x}}^\# [m, n_2] = \sum_{k=1}^K c_k e^{j2\pi \left(\frac{\tan \theta_k}{W} n_2 + \frac{\eta_k}{W} \right) m}, \quad c^* = \sum_{k=1}^K c_k$$

- 1 $\mathbf{l}_{n_2}^\# = \sum_{k=1}^K c_k \mathbf{a}(f_{n_2,k}, 0)$ (lignes de $\hat{\mathbf{x}}$, sans phase)
- 2 $\mathbf{t}_m^\# = \sum_{k=1}^K c_k \mathbf{a}(f_{m,k}, \phi_{m,k})^\top$ (colonnes de $\hat{\mathbf{x}}$, avec phase)

Caractérisation (convexe) des K droites par la norme atomique

- 1 $\|\mathbf{l}_{n_2}^\#\|_{\mathcal{A}} = c^* = \hat{\mathbf{x}}^\# [0, n_2]$ et $\mathbf{T}_{M+1}(\mathbf{l}_{n_2}^\#) \succcurlyeq 0$
- 2 $\|\mathbf{t}_m^\#\|_{\mathcal{A}} = \text{SDP}(\mathbf{t}_m^\#) = \mathbf{q}_m[0] \leq c^*$, $\mathbf{T}'_{H_5}(\mathbf{t}_m^\#, \mathbf{q}_m) \succcurlyeq 0$



Problème d'optimisation convexe

Proposition (Minimisation convexe)

$$\tilde{\mathbf{x}} \in \arg \min_{\hat{\mathbf{x}}, \mathbf{q} \in \mathcal{X} \times \mathcal{Q}} \frac{1}{2} \|\mathbf{A}\hat{\mathbf{x}} - \hat{\mathbf{y}}\|^2 ,$$

sous contraintes

$$\left\{ \begin{array}{l} \forall n_2 = 0, \dots, H_S - 1, \forall m = 0, \dots, M , \\ \hat{\mathbf{x}}[0, n_2] = \hat{\mathbf{x}}[0, 0] \leq c , \\ \mathbf{q}[m, 0] \leq c , \\ \mathbf{T}'_{H_S}(\hat{\mathbf{x}}[m, :], \mathbf{q}[m, :]) \succcurlyeq 0 , \\ \mathbf{T}_{M+1}(\hat{\mathbf{x}}[:, n_2]) \succcurlyeq 0 . \end{array} \right.$$

Problème d'optimisation convexe

Proposition (Minimisation convexe)

$$\tilde{\mathbf{x}} \in \arg \min_{\hat{\mathbf{x}}, \mathbf{q} \in \mathcal{X} \times \mathcal{Q}} \frac{1}{2} \|\mathbf{A}\hat{\mathbf{x}} - \hat{\mathbf{y}}\|^2,$$

sous contraintes

$$\left\{ \begin{array}{l} \forall n_2 = 0, \dots, H_S - 1, \forall m = 0, \dots, M, \\ \hat{\mathbf{x}}[0, n_2] = \hat{\mathbf{x}}[0, 0] \leq c, \\ \mathbf{q}[m, 0] \leq c, \\ \mathbf{T}'_{H_S}(\hat{\mathbf{x}}[m, :], \mathbf{q}[m, :]) \succcurlyeq 0, \\ \mathbf{T}'_{M+1}(\hat{\mathbf{x}}[:, n_2]) \succcurlyeq 0. \end{array} \right.$$

(Chambolle et Pock, 2010)

$$\tilde{\mathbf{X}} = \arg \min_{\mathbf{X} \in \mathcal{H}} \left\{ F(\mathbf{X}) + G(\mathbf{X}) + \sum_{i=0}^{Q-1} H_i(L_i(\mathbf{X})) \right\}$$

Problème d'optimisation convexe

Proposition (Minimisation convexe)

$$\tilde{\mathbf{x}} \in \arg \min_{\hat{\mathbf{x}}, \mathbf{q} \in \mathcal{X} \times \mathcal{Q}} \frac{1}{2} \|\mathbf{A}\hat{\mathbf{x}} - \hat{\mathbf{y}}\|^2 ,$$

sous contraintes

$$\left\{ \begin{array}{l} \forall n_2 = 0, \dots, H_S - 1, \forall m = 0, \dots, M , \\ \hat{\mathbf{x}}[0, n_2] = \hat{\mathbf{x}}[0, 0] \leq c , \\ \mathbf{q}[m, 0] \leq c , \\ \mathbf{T}'_{H_S}(\hat{\mathbf{x}}[m, :], \mathbf{q}[m, :]) \succcurlyeq 0 , \\ \mathbf{T}_{M+1}(\hat{\mathbf{x}}[:, n_2]) \succcurlyeq 0 . \end{array} \right.$$

(Chambolle et Pock, 2010)

$$\tilde{\mathbf{X}} = \arg \min_{\mathbf{X} \in \mathcal{H}} \left\{ F(\mathbf{X}) + G(\mathbf{X}) + \sum_{i=0}^{Q-1} H_i(L_i(\mathbf{X})) \right\}$$

Problème d'optimisation convexe

Proposition (Minimisation convexe)

$$\tilde{\mathbf{x}} \in \arg \min_{\hat{\mathbf{x}}, \mathbf{q} \in \mathcal{X} \times \mathcal{Q}} \frac{1}{2} \|\mathbf{A}\hat{\mathbf{x}} - \hat{\mathbf{y}}\|^2,$$

$$\text{sous contraintes} \quad \left\{ \begin{array}{l} \forall n_2 = 0, \dots, H_S - 1, \forall m = 0, \dots, M, \\ \hat{\mathbf{x}}[0, n_2] = \hat{\mathbf{x}}[0, 0] \leq c, \\ \mathbf{q}[m, 0] \leq c, \\ \mathbf{T}'_{H_S}(\hat{\mathbf{x}}[m, :], \mathbf{q}[m, :]) \succcurlyeq 0, \\ \mathbf{T}_{M+1}(\hat{\mathbf{x}}[:, n_2]) \succcurlyeq 0. \end{array} \right.$$

(Chambolle et Pock, 2010)

$$\tilde{\mathbf{X}} = \arg \min_{\mathbf{X} \in \mathcal{H}} \left\{ F(\mathbf{X}) + G(\mathbf{X}) + \sum_{i=0}^{Q-1} H_i(L_i(\mathbf{X})) \right\}$$

Problème d'optimisation convexe

Proposition (Minimisation convexe)

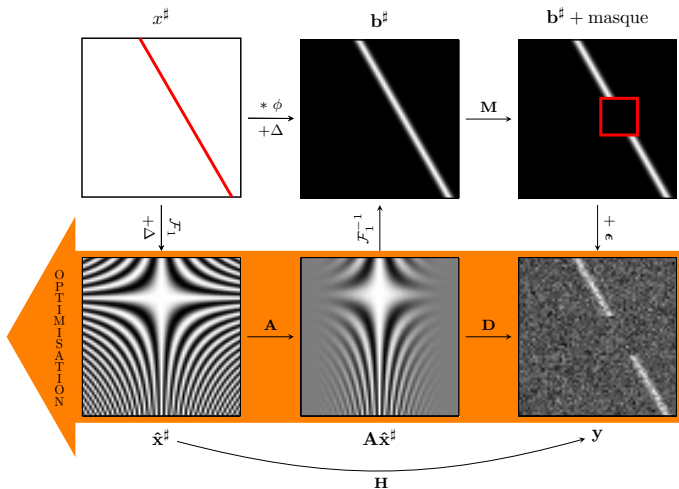
$$\tilde{\mathbf{x}} \in \arg \min_{\hat{\mathbf{x}}, \mathbf{q} \in \mathcal{X} \times \mathcal{Q}} \frac{1}{2} \|\mathbf{A}\hat{\mathbf{x}} - \hat{\mathbf{y}}\|^2,$$

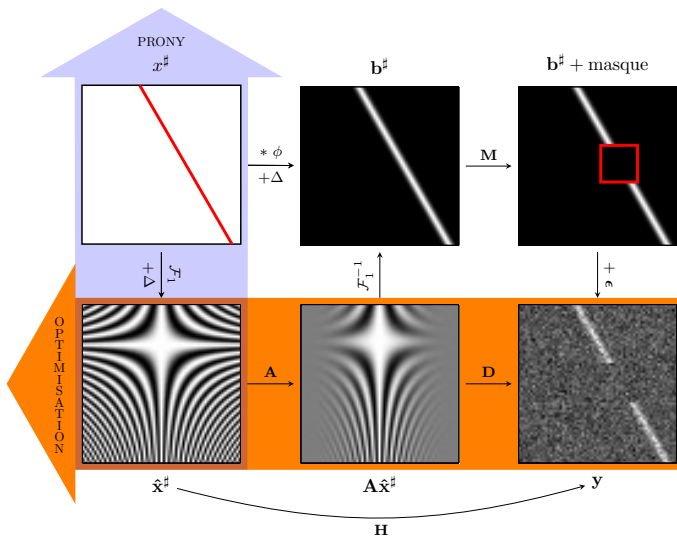
sous contraintes

$$\left\{ \begin{array}{l} \forall n_2 = 0, \dots, H_S - 1, \forall m = 0, \dots, M, \\ \hat{\mathbf{x}}[0, n_2] = \hat{\mathbf{x}}[0, 0] \leq c, \\ \mathbf{q}[m, 0] \leq c, \\ \mathbf{T}'_{H_S}(\hat{\mathbf{x}}[m, :], \mathbf{q}[m, :]) \succeq 0, \\ \mathbf{T}'_{M+1}(\hat{\mathbf{x}}[:, n_2]) \succeq 0. \end{array} \right.$$

(Chambolle et Pock, 2010)

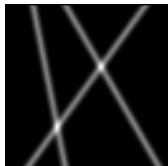
$$\tilde{\mathbf{X}} = \arg \min_{\mathbf{X} \in \mathcal{H}} \left\{ F(\mathbf{X}) + G(\mathbf{X}) + \sum_{i=0}^{Q-1} H_i(L_i(\mathbf{X})) \right\}$$



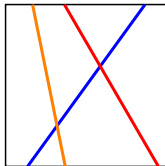


Expériences numériques

- Débruitage et déconvolution



Exp. 1



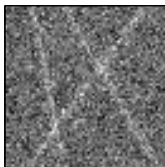
Détection

Expériences numériques

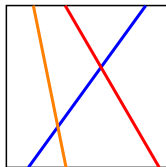
- Débruitage et déconvolution



Exp. 1



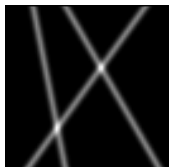
Exp. 2



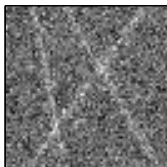
Détection

Expériences numériques

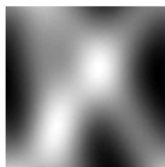
- Débruitage et déconvolution



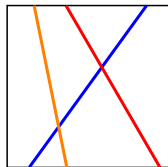
Exp. 1



Exp. 2



Exp 3.



Détection

Expériences numériques

- Débruitage et déconvolution

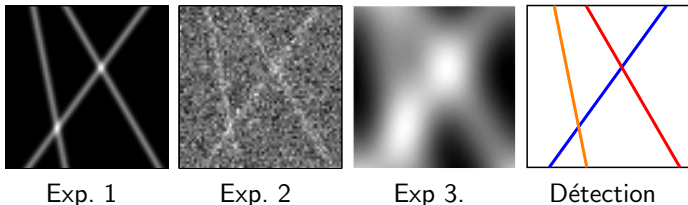


TABLE: Erreurs relatives de l'estimation des paramètres des lignes

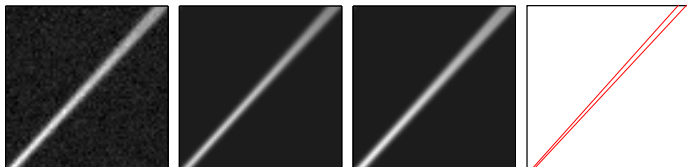
	Expérience 1	Expérience 2	Expérience 3
Δ_θ/θ	$(10^{-7}, 3.10^{-6}, 7.10^{-7})$	$(10^{-2}, 6.10^{-2}, 9.10^{-2})$	$(6.10^{-7}, 9.10^{-5}, 8.10^{-6})$
Δ_α/α	$(10^{-7}, 10^{-7}, 10^{-7})$	$(10^{-2}, 9.10^{-2}, 2.10^{-1})$	$(4.10^{-5}, 2.10^{-5}, 2.10^{-5})$
Δ_η	$(4.10^{-6}, 7.10^{-6}, 7.10^{-6})$	$(5.10^{-2}, 4.10^{-2}, 3.10^{-2})$	$(5.10^{-5}, 10^{-4}, 3.10^{-4})$

Expériences numériques



Expériences numériques

- Lignes proches



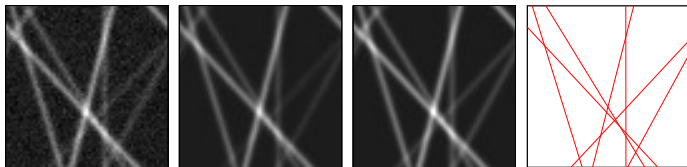
Bruitée

Débruitée

Sans bruit

Détection

- Lignes multiples



Bruitée

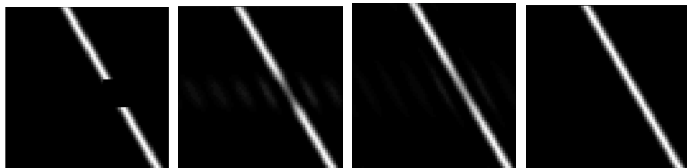
Débruitée

Sans bruit

Détection

Expériences numériques

- Inpainting spatial



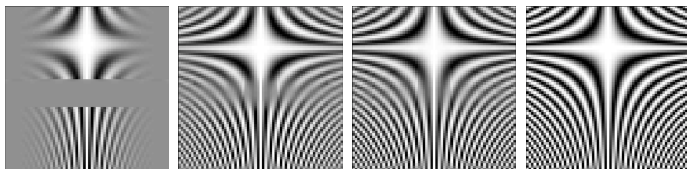
Masquage

iter = 2000

iter = 10000

iter $\rightarrow \infty$

- Inpainting en Fourier



Masquage

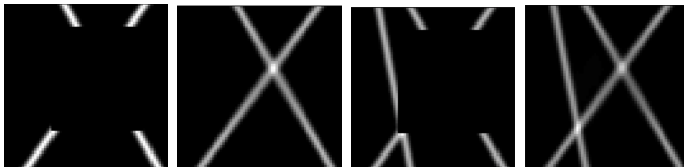
iter = 2000

iter = 10000

iter $\rightarrow \infty$

Expériences numériques

- Inpainting masquage important



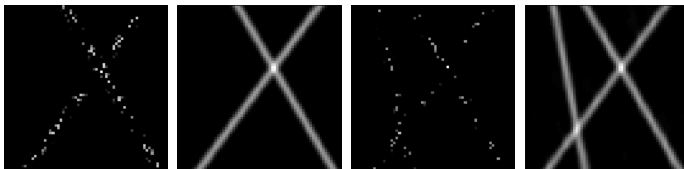
Masquage

Inpainting

Masquage

Inpainting

- Inpainting masquage aléatoire



Masquage

Inpainting

Masquage

Inpainting

Plan de l'exposé

- 1 Motivations
- 2 Modélisation et synthèse de textures orientées contrôlables
 - Du mouvement brownien aux champs aléatoires anisotropes
 - Premier modèle (GAFBF) : champs H-sssi localisés
 - Second modèle (WAFBF) : champs H-sssi déformés
- 3 Analyse de l'orientation des champs aléatoires anisotropes
 - Définition de l'orientation d'un champ H-sssi par ondelettes monogènes
 - Orientation d'un champ localisable et application aux GAFBF et WAFBF
- 4 Super-résolution de lignes 2-D diffractées et bruitées
 - Principe de super-résolution
 - Modélisation des lignes diffractées et formulation d'un problème inverse
 - Résolution du problème d'optimisation et estimation des paramètres des lignes
- 5 Conclusion et perspectives



Conclusion

- Deux nouveaux modèles de champs autosimilaires anisotropes à orientation et régularité locales prescrites
- Méthodes de synthèse efficaces
- Introduction d'une notion d'orientation locale pour les champs aléatoires
- Caractérisation de la loi des estimateurs statistiques de l'orientation
- Nouvelle méthode de super-résolution de lignes 2-D



Perspectives

- Amélioration et prolongation des méthodes :
 - Définition de la transformée de Riesz d'un champ
 - Test d'hypothèse de directionnalité d'une texture
 - Extraction des paramètres des lignes en 2-D
- Applications :
 - Tests d'orientation sur des images médicales
 - Super-résolution de *patches* sur images de microscopie
- Perspectives à plus long terme :
 - Traiter le cas des orientations multiples
 - Super-résolution de courbes 2-D

